



DECSAI

Departamento de Ciencias de la Computación e I.A.

Universidad de Granada



Patrones en grafos

© Fernando Berzal, berzal@acm.org

Patrones en grafos



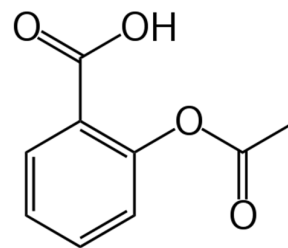
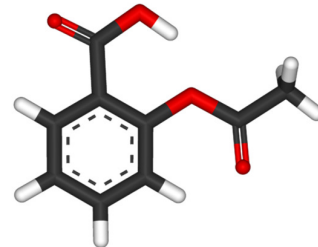
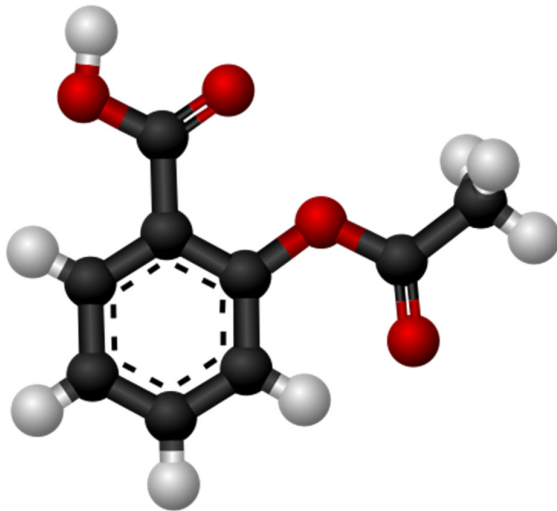
- Graph Mining
- Isomorfismo de (sub)grafos
- Subgrafos frecuentes
 - Algoritmos derivados de Apriori
 - Algoritmos derivados FP-Growth
 - Métodos escalables
- Motif Discovery
 - Algoritmos exactos [exact census algorithms]
 - Algoritmos aproximados (con muestreo / probabilísticos)
- Aplicaciones
 - Compresión de datos
 - Indexación & sistemas de recuperación de información
 - Redes de interacción de proteínas, e.g. NeMoFinder



Patrones en grafos



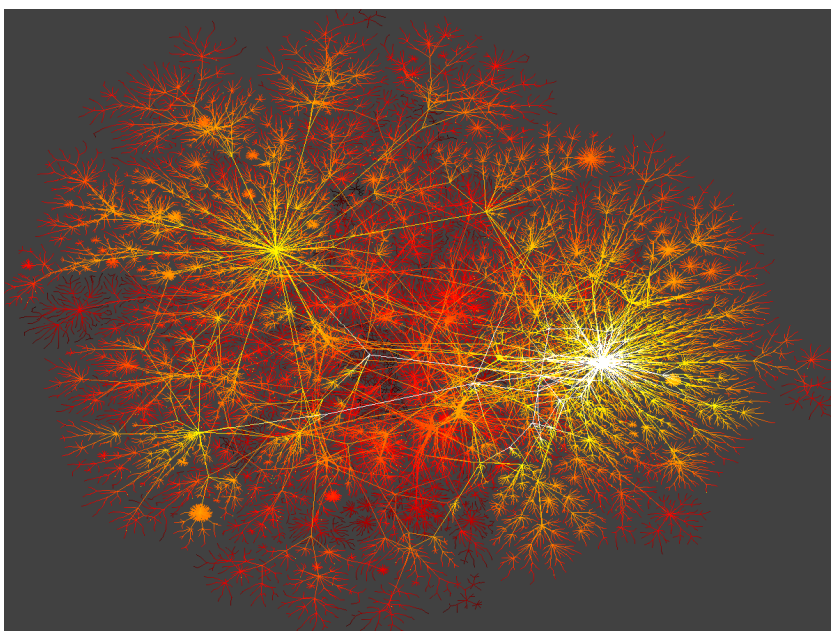
El compuesto químico de la aspirina



Patrones en grafos



Internet



Patrones en grafos

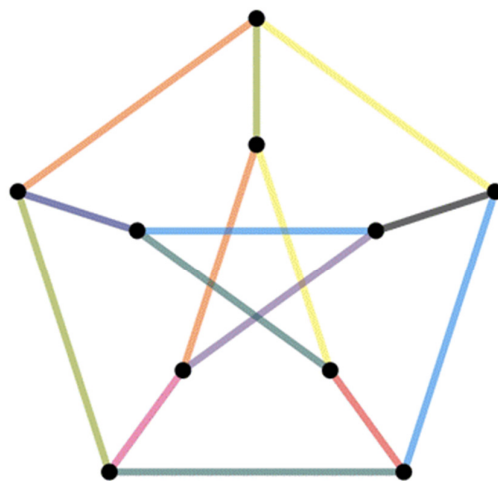


¿Qué interés tiene encontrar patrones en grafos?

- Caracterizar conjuntos de grafos.
- Crear modelos de clasificación de grafos.
- Diseñar métodos de agrupamiento en grafos.
- Construir índices en bases de datos de grafos.



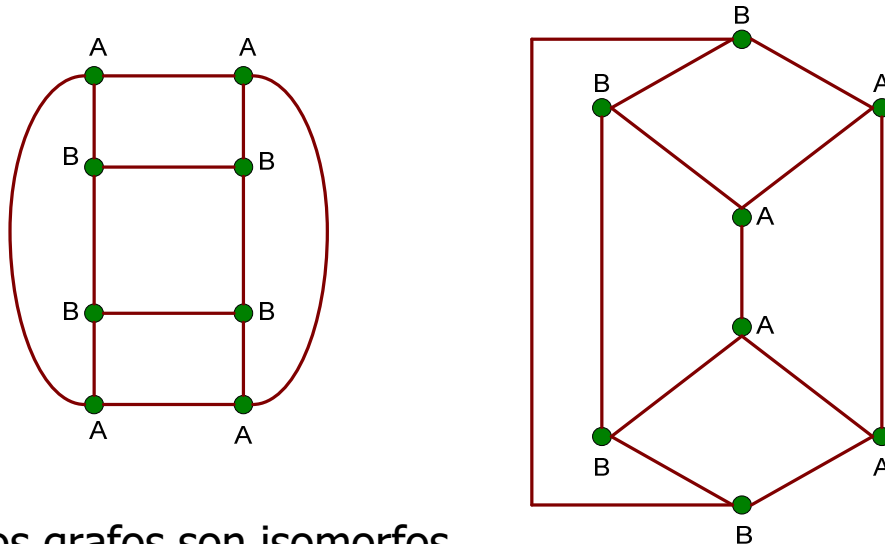
Isomorfismo de (sub)grafos



Isomorfismo de (sub)grafos



Comparar grafos implica medir la similitud entre ellos: ver hasta qué punto son isomorfos.



Dos grafos son isomorfos si son topológicamente equivalentes



Isomorfismo de (sub)grafos



La detección de isomorfismo entre grafos es un problema NP peculiar.

- No se sabe si está en P.
- No se sabe si es NP-completo.
- ¿Clase de complejidad intermedia [GI]?

NP completo
Clique

Isomorfismo de grafos

Factorización

P

NOTA: Su generalización, el isomorfismo de subgrafos, sí es un problema NP-completo (reducción: clique).

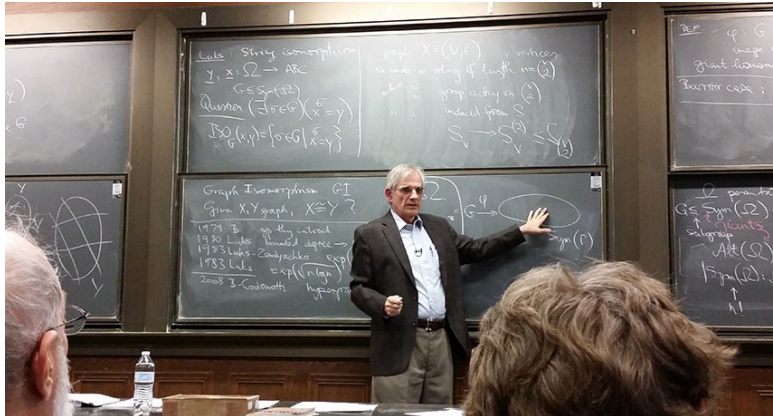


Isomorfismo de (sub)grafos



Landmark Algorithm Breaks 30-Year Impasse

Chicago, 10 de noviembre de 2015 → STOC'2016



NP completo
Clique

Isomorfismo de grafos

Factorización

P

Laszlo Babai: Graph isomorphism in quasipolynomial time,
 $O(\exp(\text{polylog}(n))) = O(\exp(\log^k(n)))$
<http://people.cs.uchicago.edu/~laci/quasipoly.html>



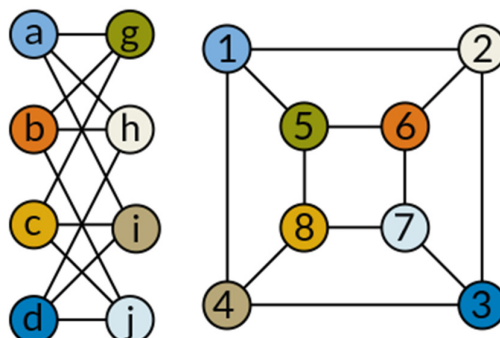
Isomorfismo de (sub)grafos



Landmark Algorithm Breaks 30-Year Impasse

Chicago, 10 de noviembre de 2015

Algoritmo divide y vencerás:
 Coloreado de posibles correspondencias...



NP completo
Clique

Isomorfismo de grafos

Factorización

P

$O(\exp(\text{polylog}(n))) = O(\exp((\log n)^k))$
<http://people.cs.uchicago.edu/~laci/quasipoly.html>



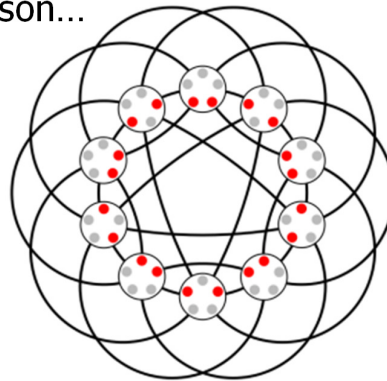
Isomorfismo de (sub)grafos



Landmark Algorithm Breaks 30-Year Impasse

Chicago, 10 de noviembre de 2015

Teniendo cuidado con un caso particular:
Grafos simétricos de Johnson...



NP completo
Clique

Isomorfismo de grafos

Factorización

P

$$O(\exp(\text{polylog}(n))) = O(\exp((\log n)^k))$$

<http://people.cs.uchicago.edu/~laci/quasipoly.html>

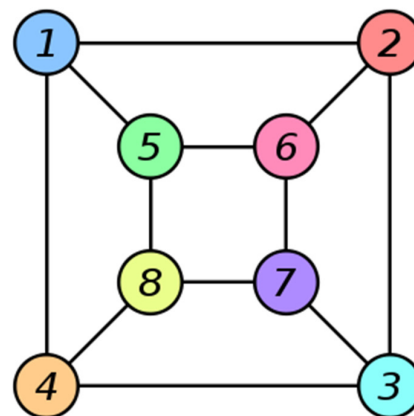
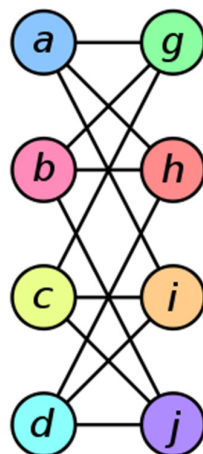


Isomorfismo de (sub)grafos



Ejemplo

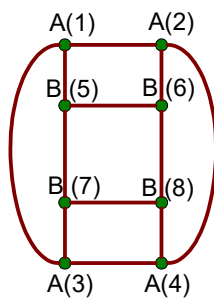
- f(a) = 1
- f(b) = 6
- f(c) = 8
- f(d) = 3
- f(g) = 5
- f(h) = 2
- f(i) = 4
- f(j) = 7



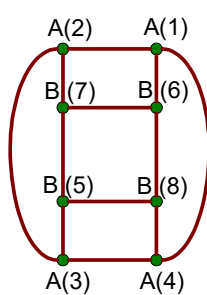
Isomorfismo de (sub)grafos



Un mismo grafo se puede representar de muchas formas:



	A(1)	A(2)	A(3)	A(4)	B(5)	B(6)	B(7)	B(8)
A(1)	1	1	1	0	1	0	0	0
A(2)	1	1	0	1	0	1	0	0
A(3)	1	0	1	1	0	0	1	0
A(4)	0	1	1	1	0	0	0	1
B(5)	1	0	0	0	1	1	1	0
B(6)	0	1	0	0	1	1	0	1
B(7)	0	0	1	0	1	0	1	1
B(8)	0	0	0	1	0	1	1	1



	A(1)	A(2)	A(3)	A(4)	B(5)	B(6)	B(7)	B(8)
A(1)	1	1	0	1	0	1	0	0
A(2)	1	1	1	0	0	0	1	0
A(3)	0	1	1	1	1	0	0	0
A(4)	1	0	1	1	0	0	0	1
B(5)	0	0	1	0	1	0	1	1
B(6)	1	0	0	0	0	1	1	1
B(7)	0	1	0	0	1	1	1	0
B(8)	0	0	0	1	1	1	0	1



Isomorfismo de (sub)grafos



- Cuando manejamos bases de datos de grafos, iii tenemos que comparar con conjuntos de grafos !!!
- Se hace imprescindible en la práctica el uso de técnicas de preprocesamiento e indexación.



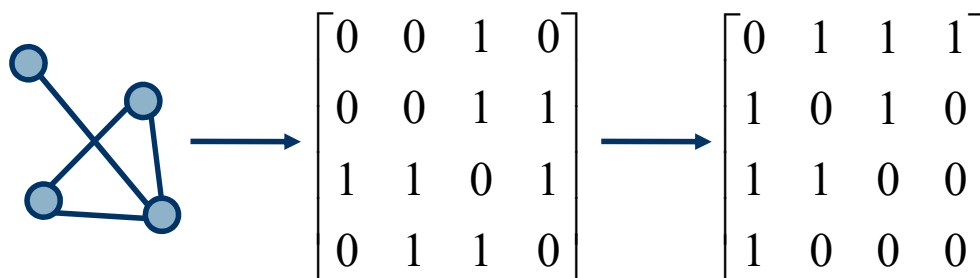
Isomorfismo de (sub)grafos



Canonicalización

Cada grafo se convierte en una cadena ordenada (su "código") de forma que dos grafos isomorfos tendrán la misma codificación canónica.

Ejemplo: "Lexicographically largest adjacency matrix"



String: 0010001111010110

Canonical: 0111101011001000



Isomorfismo de (sub)grafos



Invariantes

Dados dos grafos $G_1(V_1, E_1)$ y $G_2(V_2, E_2)$, un invariante es una etiqueta $l(v_1)$ asignada a un vértice $v_1 \in G_1$ tal que, si existe un isomorfismo que asigna v_1 al vértice $v_2 \in G_2$, entonces $l(v_1) = l(v_2)$.

EJEMPLOS

- Grado de un vértice
- Número de vecinos a distancia dos [two path]
- Triángulos adyacentes
- K-cliques (cliques de tamaño k que incluyen v)
- Conjuntos independientes de tamaño k que incluyen v



Isomorfismo de (sub)grafos



Algoritmos

$G_1(k)$

Subgrafo inducido de G_1 sobre los k primeros vértices

ESQUEMA GENERAL: BACKTRACKING

Para descubrir un isomorfismo entre dos grafos G_1 y G_2 , construimos un isomorfismo sobre $G_1(k)$ y lo extendemos a $G_1(k+1)$ añadiendo un nuevo vértice (los invariantes nos permitirán podar la búsqueda).



Isomorfismo de (sub)grafos



Algoritmos

ESQUEMA GENERAL: BACKTRACKING

```
MATCH ( $G_1, G_2, s$ )
[ if  $M_s$  covers all the vertices of  $G_1$  then
  return  $M_s$ 
else
  [ foreach  $(v_1, v_2) \in P(s)$  do
    [ if COMPATIBLE( $v_1, v_2$ ) then
      [  $s' \leftarrow s \cup (v_1, v_2)$ 
        [ MATCH ( $G_1, G_2, s'$ )
      ]
    ]
  ]
  return no match found
```



Isomorfismo de (sub)grafos



Algoritmo de Ullman (1976)

Propiedad de las matrices de adyacencia de dos grafos isomorfos: $A_2 = P A_1 P^T$, donde P es una matriz que representa una permutación (la que define el isomorfismo).

$$\begin{bmatrix} a & b & c \\ d & e & f \\ g & h & i \end{bmatrix} \begin{bmatrix} 0 & 1 & 0 \\ 0 & 0 & 1 \\ 1 & 0 & 0 \end{bmatrix} = \begin{bmatrix} c & a & b \\ f & d & e \\ i & g & h \end{bmatrix}$$

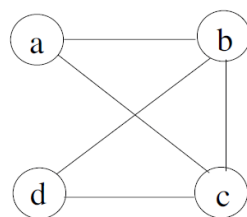
$$\begin{bmatrix} 0 & 0 & 1 \\ 1 & 0 & 0 \\ 0 & 1 & 0 \end{bmatrix} \begin{bmatrix} a & b & c \\ d & e & f \\ g & h & i \end{bmatrix} = \begin{bmatrix} g & h & i \\ a & b & c \\ d & e & f \end{bmatrix}$$



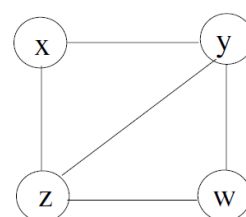
Isomorfismo de (sub)grafos



Algoritmo de Ullman (1976)



G_1



G_2

$$A_1 = \begin{bmatrix} 0 & 1 & 0 & 1 \\ 1 & 0 & 1 & 1 \\ 0 & 1 & 0 & 1 \\ 1 & 1 & 1 & 0 \end{bmatrix}, \quad A_2 = \begin{bmatrix} 0 & 1 & 1 & 0 \\ 1 & 0 & 1 & 1 \\ 1 & 1 & 0 & 1 \\ 0 & 1 & 1 & 0 \end{bmatrix}$$



Isomorfismo de (sub)grafos



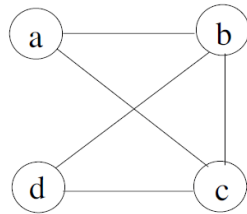
Algoritmo de Ullman (1976)

a → **x**

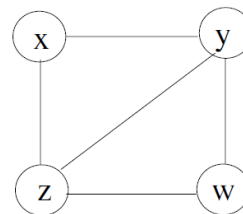
b → **y**

c → **z**

d → **w**



G_1



G_2

$$\begin{bmatrix} 0 & 1 & 1 & 0 \\ 1 & 0 & 1 & 1 \\ 1 & 1 & 0 & 1 \\ 0 & 1 & 1 & 0 \end{bmatrix} = \begin{bmatrix} 0 & 0 & 1 & 0 \\ 0 & 0 & 0 & 1 \\ 0 & 1 & 0 & 0 \\ 1 & 0 & 0 & 0 \end{bmatrix} \begin{bmatrix} 0 & 1 & 0 & 1 \\ 1 & 0 & 1 & 1 \\ 0 & 1 & 0 & 1 \\ 1 & 1 & 1 & 0 \end{bmatrix} \begin{bmatrix} 0 & 0 & 0 & 1 \\ 0 & 0 & 1 & 0 \\ 1 & 0 & 0 & 0 \\ 0 & 1 & 0 & 0 \end{bmatrix}$$



Isomorfismo de (sub)grafos



Algoritmo de Ullman (1976)

Input : $G_1(V_1, E_1), G_2(V_2, E_2)$

$P[n_2, n_2]$: a permutation matrix

Output : $G' \subset G_2$ such that $G' \cong G_1$ if exists

$n_1 \leftarrow |V_1| ; n_2 \leftarrow |V_2|$

$BackTrack(A_1, A_2, P, 1)$

procedure BACKTRACK(A_1, A_2, P, k)

if $k > n_1$ **then**

P represents a subgraph isomorphism from G_1 to G_2

return(P)

end if

for $i = 1$ to n_2 **do**

$p_{ki} \leftarrow 1$

for all $j = 1$ to $n_1, j = i$ **do**

$p_{kj} \leftarrow 0$

end for

if $S_{k,k}(A_1) = S_{k,n}(P)A_2(S_{k,n}(P))^T$ **then**

$BackTrack(A_1, A_2, P, k+1)$

end if

end for

end procedure

Tiempo

$O(m^n n^2)$

Espacio

$O(n^2 m)$



Isomorfismo de (sub)grafos



nauty

[McKay, 1981]

- Representa el grafo de **forma canónica**.
- Utiliza **invariantes** en la búsqueda de isomorfismos.
- Define **particiones** sobre los vértices (va dividiendo los vértices en conjuntos disjuntos).
 - Partición inicial (invariantes sobre el grafo completo).
 - Refinamiento (invariantes sobre cada partición).
 - Partición hoja (conjuntos de un nodo).



Isomorfismo de (sub)grafos



nauty

- Algoritmo:
Búsqueda en profundidad en el espacio de particiones.
- Refinamiento de las particiones:
Dada una partición $P = \{V_1 \dots V_m\}$
en la que $\forall v, w \in V_i, d(v, V_i) = d(w, V_i)$
 - Seleccionar $V_i \in P$ con más de un elemento.
 - $\forall v, w \in V_i$, calcular $d(v, V_i)$
 - Dividir V_i en subconjuntos que tengan el mismo valor para $d(v, V_i)$.



Isomorfismo de (sub)grafos



nauty

- El refinamiento de las particiones se repite para todos los V_i hasta que ningún conjunto puede dividirse más.
- Los hijos de una partición se generan seleccionando, para cada vértice $v \in V_i$, una partición hija con los conjuntos $\{V_1, \dots, V_{i-1}, \{v\}, V_i/\{v\}, V_{i+1}, \dots, V_m\}$.
- Nauty devuelve la representación canónica del grafo correspondiente a la matriz de adyacencia del menor automorfismo (isomorfismo del grado consigo mismo)



24

Isomorfismo de (sub)grafos



nauty

Input : $G_1(V_1, E_1)$

Output : $G_2(V_2, E_2)$: a canonical graph

$\mathcal{P} \leftarrow$ partition of a single cell V

$S \leftarrow$ stack containing \mathcal{P}

while $S \neq \emptyset$ **do**

$u \leftarrow pop(S)$

if $u = leaf\ partition$ **then**

$update(G_2, u)$

else

$refine(u)$

append children of u to S

end if

end while



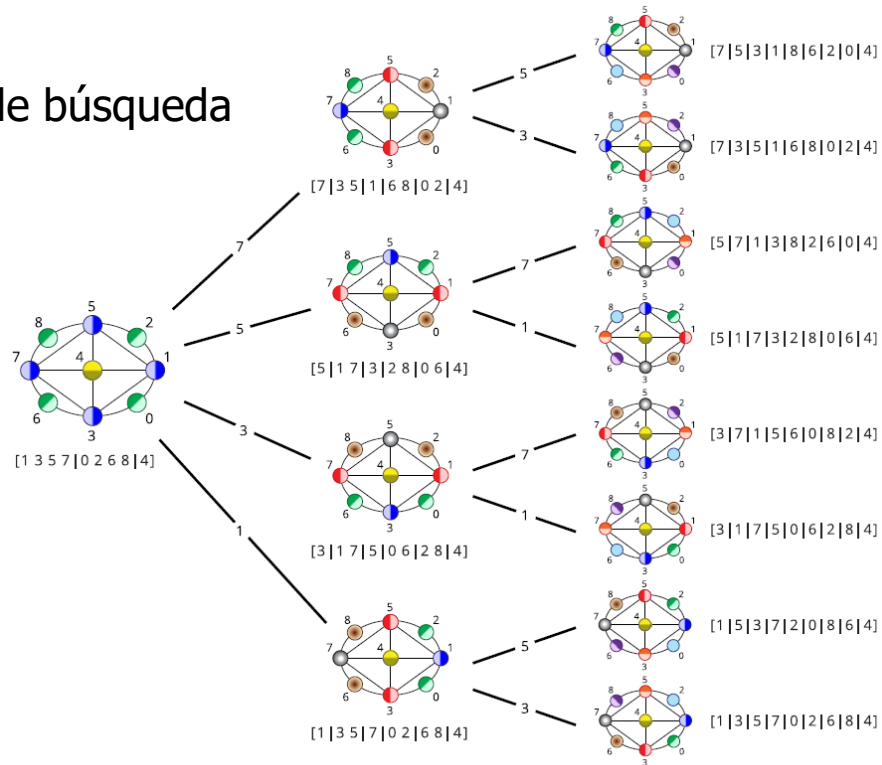
25

Isomorfismo de (sub)grafos



nauty

Árbol de búsqueda

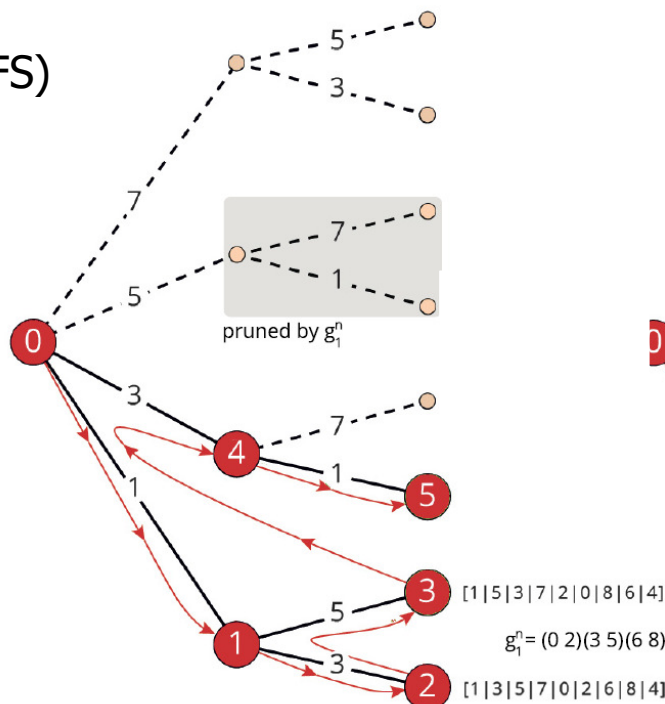


Isomorfismo de (sub)grafos



nauty

Exploración (DFS)
y poda...



Isomorfismo de (sub)grafos



VF2

[Cordella et al., TPAMI 2004]

- DFS
- Reglas para podar el árbol de búsqueda que comprueban, para cada pareja de nodos candidatos, si el emparejamiento parcial es compatible.

	VF2 Mejor caso	Peor caso	Ullman Mejor caso	Peor caso
Tiempo	$\Theta(n^2)$	$\Theta(n!n)$	$\Theta(n^3)$	$\Theta(n!n^2)$
Espacio	$\Theta(n)$	$\Theta(n)$	$\Theta(n^3)$	$\Theta(n^3)$

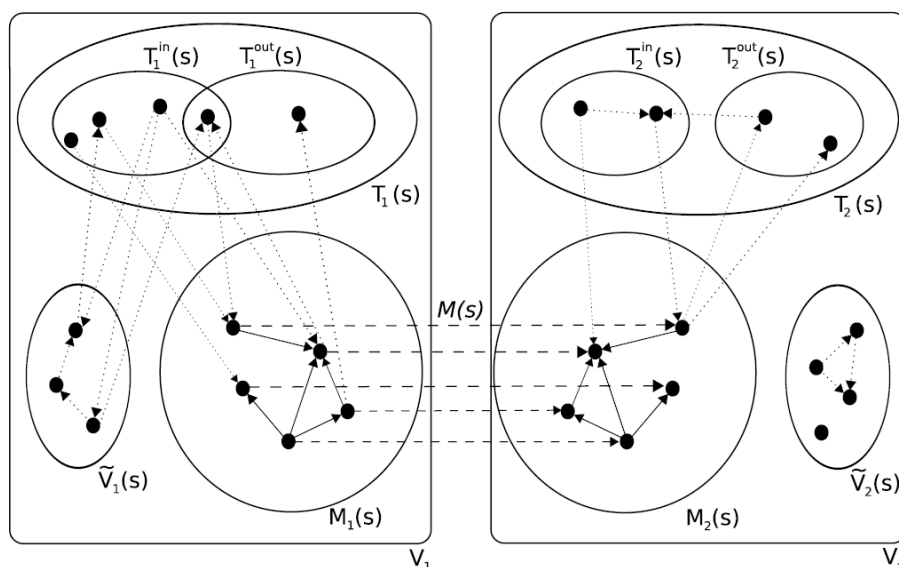


Isomorfismo de (sub)grafos



VF2

Correspondencia parcial

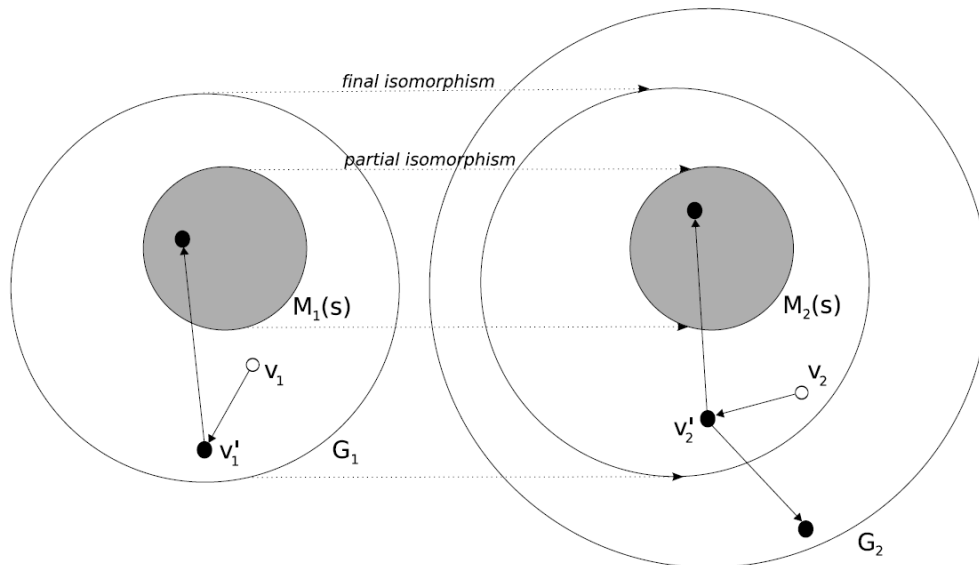


Isomorfismo de (sub)grafos



VF2

“look-ahead”



Isomorfismo de (sub)grafos



VF2

procedure MATCH(G_1, G_2, s)

Input : two graphs G_1 and G_2 , an intermediate state s

initial state s_0 has $M(s_0) = \emptyset$

Output : the mappings between G_1 and G_2

if M_s covers all nodes of G_1 **then**

return(M_s)

else

compute $P(s)$ of candidate pairs to be included in $M(s)$

for all $p \in P(s)$ **do**

if p is compatible with $M(s)$ **then**

$s' \leftarrow p \cup M(s)$

compute state s' obtained by adding p to $M(s)$

$Match(G_1, G_2, s')$

end if

end for

restore data structures

end if

end procedure



Isomorfismo de (sub)grafos



VF2

Nodes	Randomly Connected			2D (regular and irregular) Mesh				Bounded valence		
	$\eta=0.01$	$\eta=0.05$	$\eta=0.1$	regular	$\rho=0.2$	$\rho=0.4$	$\rho=0.6$	$v=3$	$v=6$	$v=9$
20	VF2	VF2	Nauty	VF2	Nauty	Nauty	Nauty	Nauty	Nauty	Nauty
40	VF2	Nauty	Nauty	VF2	VF2	Nauty	Nauty	Nauty	Nauty	Nauty
60	VF2	Nauty	Nauty	VF2	VF2	VF2	Nauty	VF2	Nauty	Nauty
80	VF2	Nauty	Nauty	VF2	VF2	VF2	VF2	VF2	Nauty	Nauty
100	VF2	Nauty	Nauty	VF2	VF2	VF2	VF2	VF2	Nauty	Nauty
200	VF2	Nauty	Nauty	VF2	VF2	VF2	VF2	VF2	VF2	Nauty
400	Nauty	Nauty	Nauty	VF2	VF2	VF2	VF2	VF2	VF2	Nauty
600	Nauty	Nauty	Nauty	VF2	VF2	VF2	VF2	VF2	VF2	Nauty
800	Nauty	Nauty	Nauty	VF2	VF2	VF2	VF2	VF2	VF2	VF2
1000	Nauty	Nauty	Nauty	VF2	VF2	VF2	VF2	VF2	VF2	VF2



Isomorfismo de (sub)grafos



BM1

[Battiti & Mascia, SLS'2007]

- Mejora de VF2 en tiempo de CPU.
- IDEA: "local-path-based pruning"

Si existe un camino de longitud d desde v_1 en G_1 , debe existir el mismo camino desde v_2 en G_2 para que el par (v_1, v_2) sea compatible.



Isomorfismo de (sub)grafos



BM1

[Battiti & Mascia, SLS'2007]

```
procedure COMPATIBLEPATHS( $v_1, v_2, d$ )  
  Output : the mappings between  $G_1$  and  $G_2$   
  for all  $x$  in  $1, \dots, d$  do  
    for all  $y$  in  $1, \dots, 2^d$  do  
      if  $PathsDS[v_1][x][y] > PathsDS[v_2][x][y]$  then  
        return false  
      end if  
    end for  
  end for  
end procedure
```

	BM1	VF2
Tiempo	$O(n^d + n!n)$	$O(n!n)$
Espacio	$\Theta(n^{2^{d+1}})$	$O(n)$

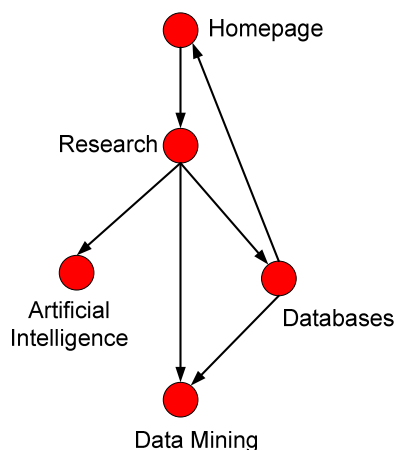


Subgrafos frecuentes

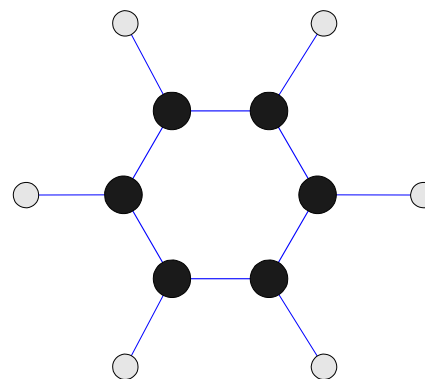


Identificación de patrones frecuentes en grafos

Aplicaciones: Web Mining, Bioinformática, redes sociales...



Grafo dirigido



Grafo no dirigido



Subgrafos frecuentes



■ Subgrafo

Un grafo g es un subgrafo de otro grafo G ($g \subseteq G$) si existe un isomorfismo de subgrafos de g a G .

■ Subgrafo frecuente

Dada una base de datos de grafos (o un único grafo enorme), un subgrafo es frecuente si su soporte (frecuencia de ocurrencia) no es menor que un umbral de soporte mínimo preestablecido.

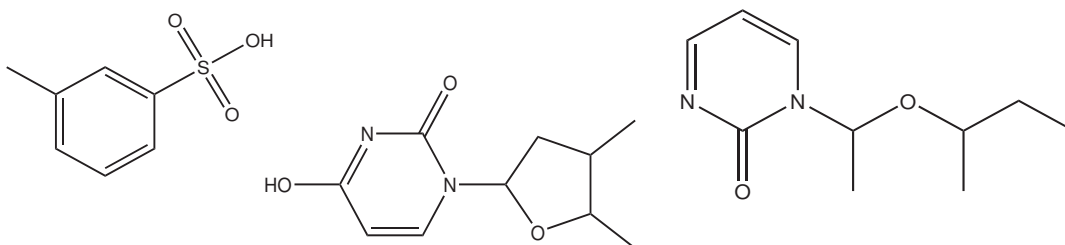


Subgrafos frecuentes



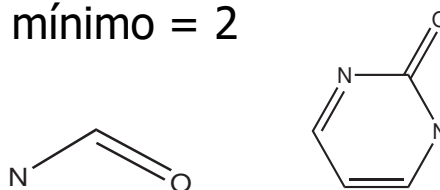
Ejemplo

Conjunto de datos (grafos no dirigidos)



Patrones frecuentes

- Umbral de soporte mínimo = 2

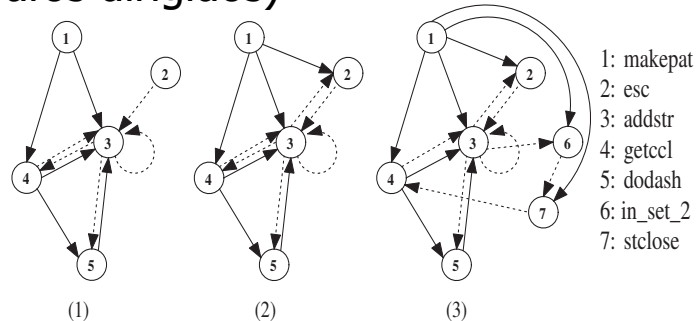


Subgrafos frecuentes



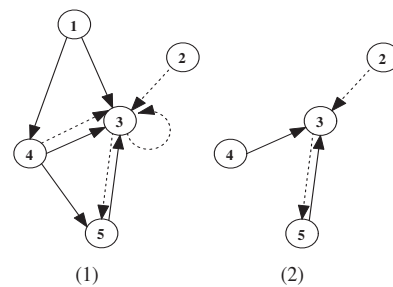
Ejemplo

Conjunto de datos (grafos dirigidos)



Patrones frecuentes

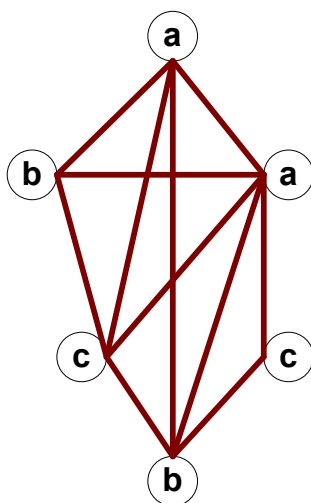
- Umbral de soporte mínimo = 2



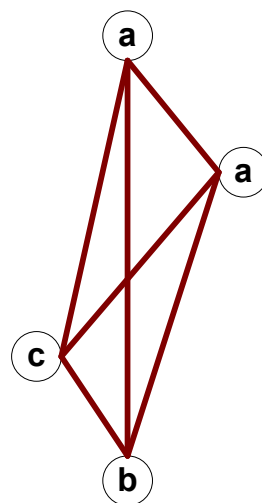
Subgrafos frecuentes



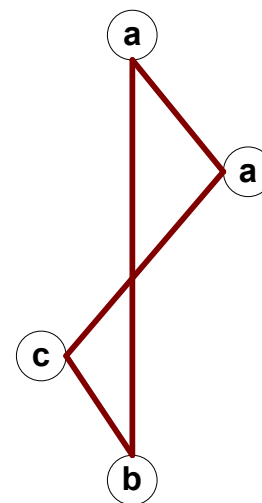
Tipos de subgrafos frecuentes



Grafo original



Subgrafo inducido



Subgrafo empotrado

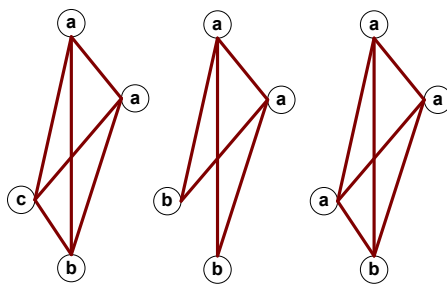


Subgrafos frecuentes

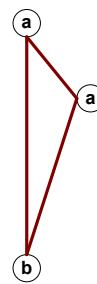


Conteo del soporte (número de ocurrencias)

- Soporte [support]:
Número de grafos en la base de datos que contienen al menos una ocurrencia del subgrafo.
- Soporte ponderado [weighted support]
Número total de ocurrencias del subgrafo en todos los grafos de la base de datos.



Base de datos



Subgrafo

support = 3
weighted support = 6



Subgrafos frecuentes



Algoritmos

Búsqueda dirigida [beam search]

- **SUBDUE** [Holder et al., KDD'1994]
[Cook & Holder, IEEE Intelligent Systems, 2000]

Inductive Logic Programming (ILP): Datalog

- **WARMR** [Dehaspe et al., KDD'1998 & DMKD'1999]

Patrones frecuentes

- Tipo Apriori:
AGM/AcGM, FSG, "disjoint paths", SiGram
- Tipo FP-Growth:
MoFa, gSpan, FFSM, Gaston, CloseGraph, Spin



Subgrafos frecuentes: SUBDUE

Búsqueda dirigida

Se limita el número de “mejores” subestructuras.

MDL [Minimum Description Length]

- Las subestructuras se evalúan en función de su capacidad para “comprimir” los grafos de entrada.
- La mejor subestructura S de un grafo G minimiza $DL(S)+DL(G\setminus S)$

Algoritmo greedy: Comenzando con vértices individuales, se añaden nuevas aristas a las mejores subestructuras encontradas hasta que no se puedan encontrar nuevas subestructuras.



Subgrafos frecuentes

Propiedad clave

ANTI-MONOTONICIDAD

a.k.a. propiedad Apriori

Un subgrafo de tamaño k es frecuente sólo si todos sus subgrafos son frecuentes.

NOTA: Un grafo con n aristas tiene 2^n subgrafos...



Subgrafos frecuentes: WARMR

Algoritmo basado en ILP [Inductive Logic Programming] para extraer patrones de datos estructurados.

- Uso de Datalog para representar tanto los datos como los patrones descubiertos.

?- *six_ring(C,S), atomel(C,A1,h), atomel(C,A2,c), bond(C,A1,A2,X), occurs_in(A2,S)* (frequency: 157 compounds (70%), i.e., “a hydrogen atom bound to a carbon atom in a six ring”).

- Primer sistema que aprovecha la propiedad Apriori.

Artículo original (KDD'1998):

Aplicación a la predicción de químicos carcinógenos.



Subgrafos frecuentes

Caracterización de los algoritmos de identificación de subgrafos frecuentes

- Tipo de grafos (dirigidos/no-dirigidos, etiquetados...)
- Tipo de patrones identificados (inducidos/empotrados)
- Cálculo del soporte
- Orden de búsqueda (anchura vs. profundidad)
- Generación de candidatos (Apriori vs FP-Growth)
- Eliminación de duplicados
- Orden de identificación de patrones (p.ej. camino → árbol → grafo)



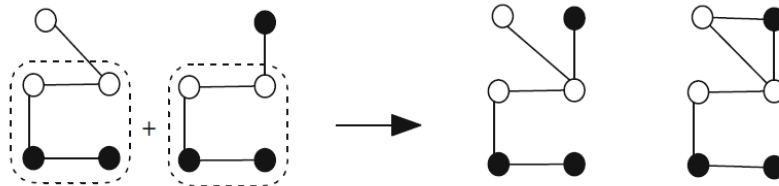
Subgrafos frecuentes: Apriori



Algoritmos basados en Apriori

Búsqueda en anchura

Grafos con k elementos \rightarrow Grafos con $k+1$ elementos



- AGM [Inokuchi et al., PKDD'2000 & Machine Learning '2003] genera grafos candidatos con un nuevo nodo.
- FSG [Kuramochi & Karypis, ICDM'2001 & TKDE'2004] genera grafos candidatos con una nueva arista.



Subgrafos frecuentes: Apriori



Algoritmos basados en Apriori

Apriori (D , min_sup , S_k)

Input: Graph dataset D , minimum support threshold min_sup ,
size- k frequent subgraphs S_k

Output: The set of size- $(k + 1)$ frequent subgraphs S_{k+1}

- 1: $S_{k+1} \leftarrow \emptyset$;
- 2: **for** each frequent subgraph $g_i \in S_k$ **do**
- 3: **for** each frequent subgraph $g_j \in S_k$ **do**
- 4: **for** each size- $(k + 1)$ graph g formed by joining g_i and g_j **do**
- 5: **if** g is frequent in D and $g \notin S_{k+1}$ **then**
- 6: insert g to S_{k+1} ;
- 7: **if** $S_{k+1} \neq \emptyset$ **then**
- 8: call Apriori(D , min_sup , S_{k+1});
- 9: **return**;



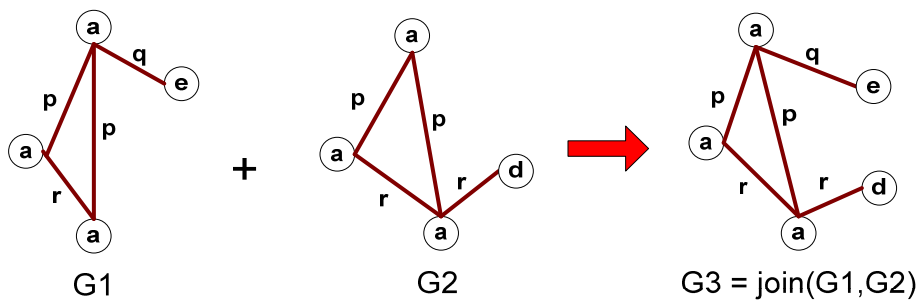
Subgrafos frecuentes: Apriori



AGM: Apriori-based Graph Mining

[Inokuchi et al., PKDD'2000 & Machine Learning'2003]

Vertex growing



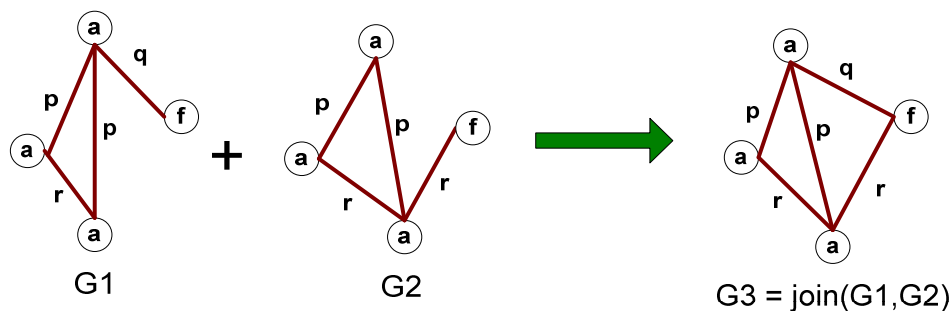
Subgrafos frecuentes: Apriori



FSG: Frequent Sub-Graph discovery

[Kuramochi and Karypis, ICDM'2001 & IEEE TKDE'2004]

Edge growing

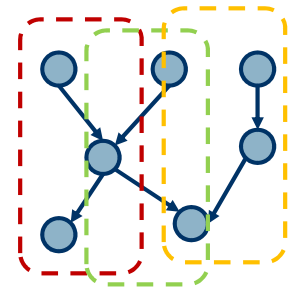


Subgrafos frecuentes: Apriori

JoinPath [Vanetik et al., ICDM'2002 & ICDE'2004]
[Gudes et al., IEEE TKDE'2006]

EDPs = Edge-disjoint paths
(caminos sin aristas comunes)

1. Identificar caminos frecuentes
2. Identificar grafos frecuentes con 2 "edge-disjoint paths"
3. Iterativamente, construir grafos con $k+1$ EDPs a partir de grafos con k EDPs.



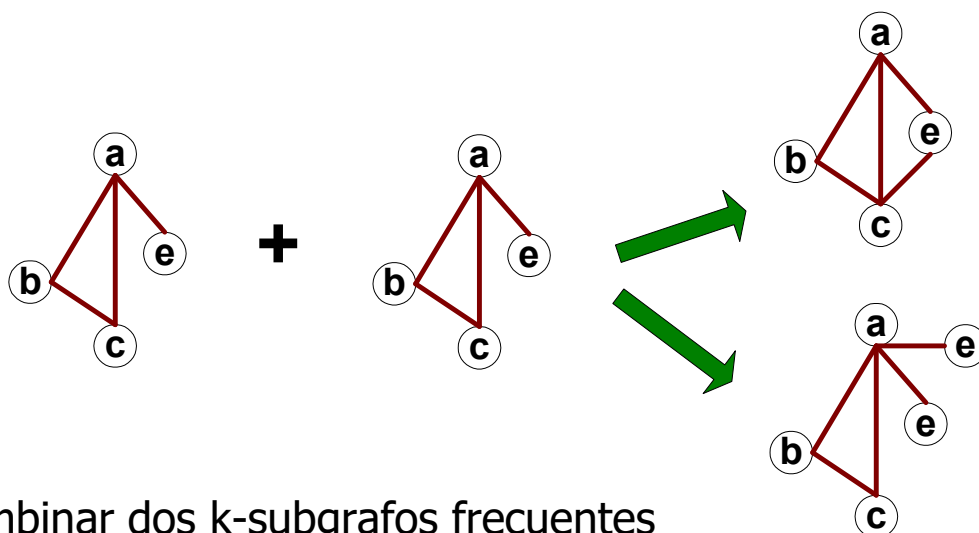
Grafo con 3 EDPs



Subgrafos frecuentes: Apriori

Generación de candidatos [edge growing]

p.ej. Mismas etiquetas en distintos nodos



Combinar dos k -subgrafos frecuentes puede dar lugar a más de un candidato

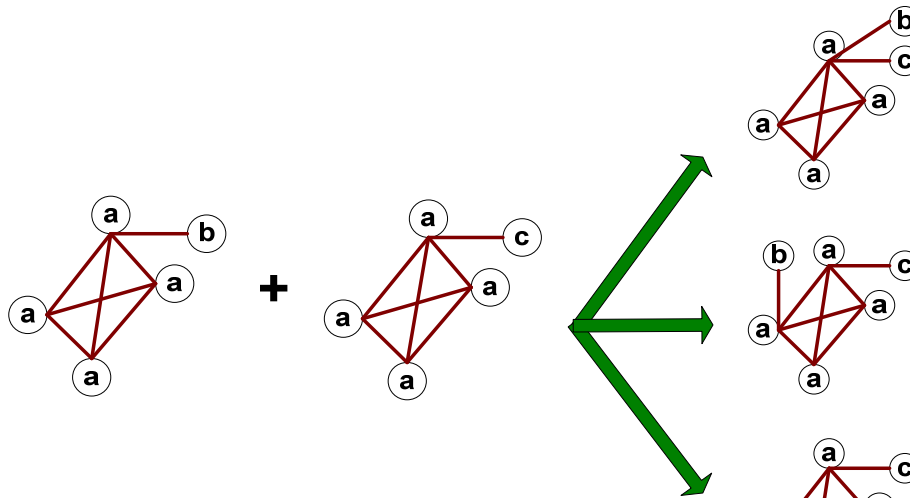


Subgrafos frecuentes: Apriori



Generación de candidatos [edge growing]

p.ej. "Núcleo" [core] con las mismas etiquetas



Combinar dos k-subgrafos frecuentes puede dar lugar a más de un candidato

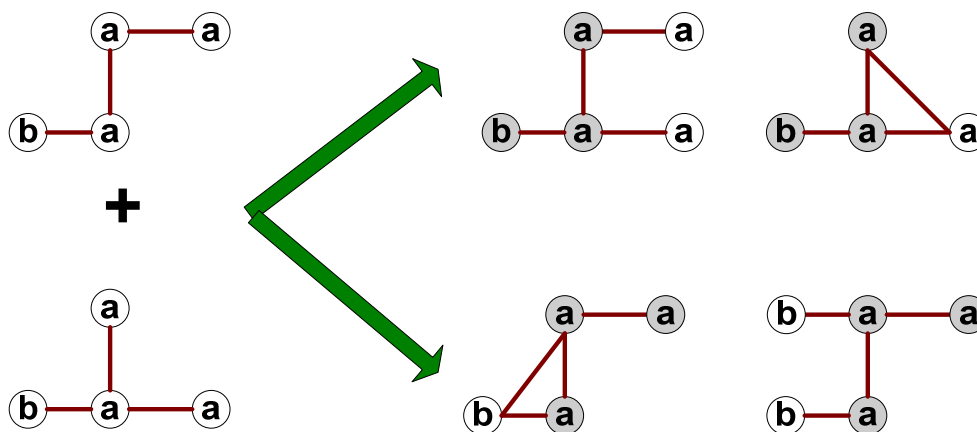


Subgrafos frecuentes: Apriori



Generación de candidatos [edge growing]

p.ej. Múltiples núcleos

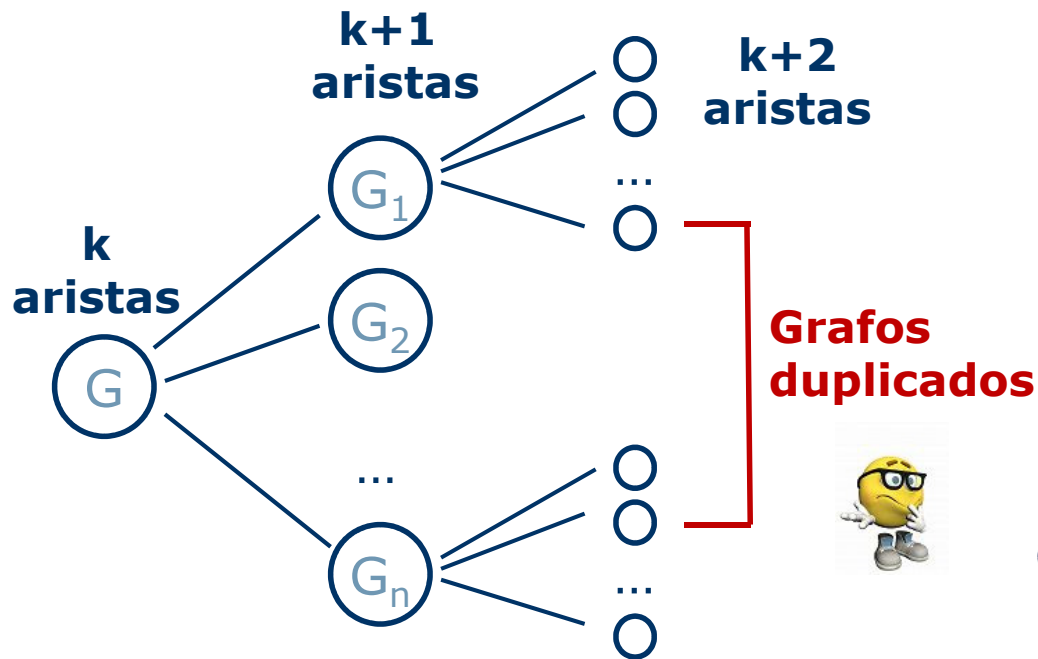


Combinar dos k-subgrafos frecuentes puede dar lugar a más de un candidato



Subgrafos frecuentes: FP-Growth

Problema de los algoritmos basados en Apriori



Subgrafos frecuentes: FP-Growth

Algoritmos derivados de FP-Growth

- Inspirados en PrefixSpan (secuencias), TreeMinerV y FREQT (árboles).
- Extienden los patrones frecuentes directamente (añadiendo una arista, en todas las posiciones posibles).
- Evitan la reunión de dos patrones para generar nuevos candidatos (operación más costosa en los algoritmos derivados de Apriori).

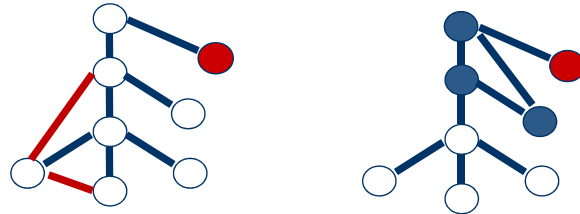


Subgrafos frecuentes: FP-Growth

gSpan

[Yan & Han, ICDM'2002]

"Right-most extension"



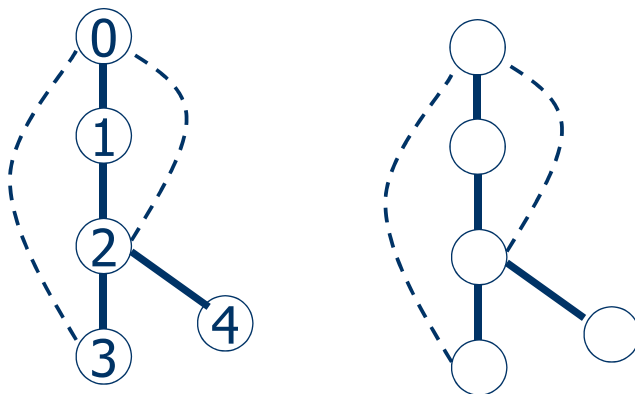
La enumeración de grafos usando su "extensión más a la derecha" es completa.



Subgrafos frecuentes: FP-Growth

gSpan

[Yan & Han, ICDM'2002]



Búsqueda en profundidad (DFS)
Grafo → Secuencia de aristas

e0: (0,1)

e1: (1,2)

e2: (2,0)

e3: (2,3)

e4: (3,1)

e5: (2,4)



Subgrafos frecuentes: FP-Growth

Gaston [Nijssen and Kok, KDD'2004]

GrAph, Sequences and Tree extractiON algorithm

Separa la identificación de distintos tipos de patrones, ya que la identificación de estructuras más simples es mucho más eficiente (así como la eliminación de duplicados):

caminos \rightarrow árboles \rightarrow grafos



Subgrafos frecuentes: FP-Growth

CloseGraph [Yan & Han, KDD'2003]

- Grafo cerrado:
Un grafo G se dice cerrado si no existe ningún supergrafo de G que tenga el mismo soporte que G .

- IDEA: Compresión sin pérdidas

Si hay subgrafos de G con exactamente su mismo soporte, no es necesario identificarlos (grafos no cerrados).



Subgrafos frecuentes: FP-Growth

CloseGraph [Yan & Han, KDD'2003]

Dados dos grafos frecuentes G y G' , con G subgrafo de G' , si siempre que encontramos G en nuestros datos también aparece G'

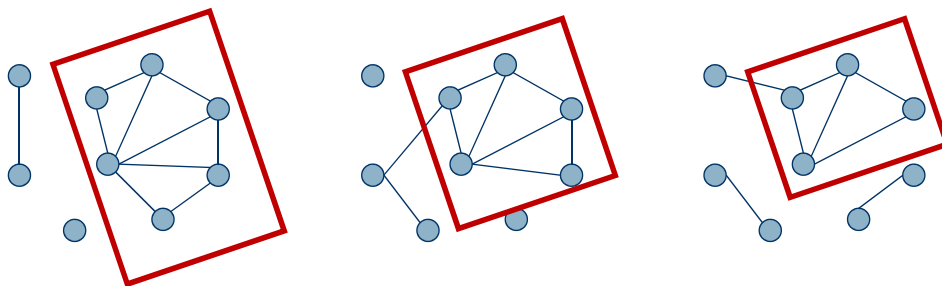
- Sólo serán cerrados los descendientes de G que sean también descendientes de G' .
- No es necesario que sigamos expandiendo G para encontrar nuevos patrones, salvo en situaciones muy puntuales ["tricky exception cases"]...



Subgrafos frecuentes: FP-Growth

CloseCut & Splat [Yan, Zhou & Han, KDD'2005]

Subestructuras densas



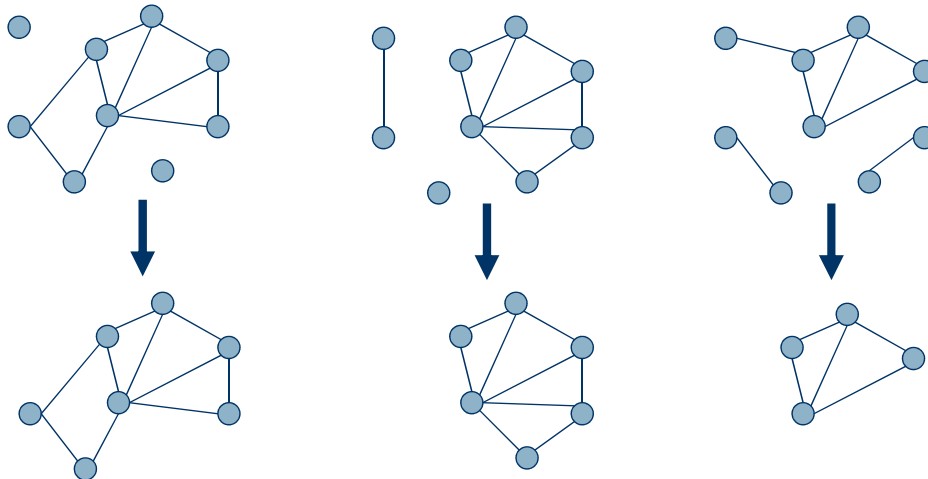
Restricciones adicionales nos permiten optimizar los algoritmos de identificación de subgrafos frecuentes (conectividad, grado, diámetro, densidad...)



Subgrafos frecuentes: FP-Growth

CloseCut & Splat [Yan, Zhou & Han, KDD'2005]

Subestructuras densas: Reducción de patrones (1/2)



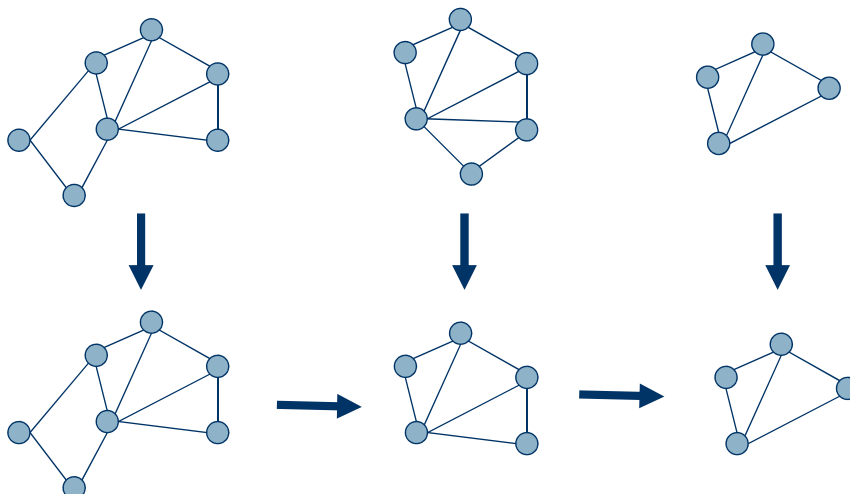
Descomposición de grafos en función de su conectividad



Subgrafos frecuentes: FP-Growth

CloseCut & Splat [Yan, Zhou & Han, KDD'2005]

Subestructuras densas: Reducción de patrones (2/2)



Intersección y descomposición de subgrafos (**Splat**)



Subgrafos frecuentes



Otros algoritmos

- MoFa [Borgelt & Berthold, ICDM'2002]
- FFSM [Han et al., ICDM'2003]
- SPIN [Huan et al., KDD'2004]
- GREW [Kuramochi & Karypis, ICDM'2004]
- SiGram [Kuramochi & Karypis, DMKD'2005]
- TSMiner [Jin et al., KDD'2005]
- MARGIN [Thomas et al., KDD'2006]

...

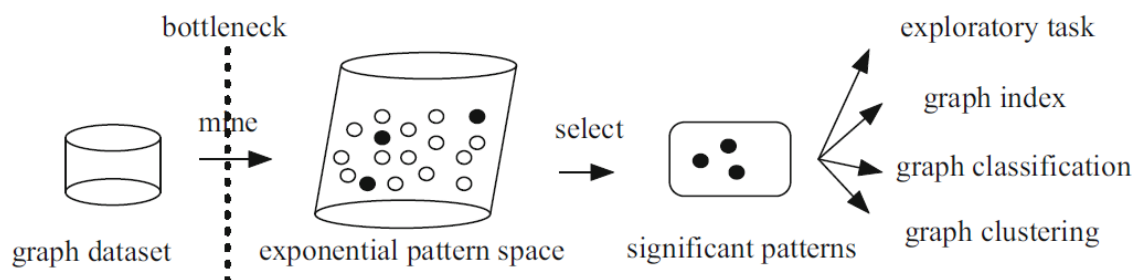


Subgrafos frecuentes



PROBLEMA

Para encontrar todos los grafos frecuentes, tenemos que analizar un número exponencial de subgrafos...



¿Cómo evitar la explosión combinatoria en la práctica?



Subgrafos frecuentes



Modelos escalables

Evitan la explosión combinatoria
(la generación de un número exponencial de grafos)

- Subgrafos significativos [He & Singh, ICDM'2007]:
 - gboost** [Kudo et al., NIPS'2004]
 - gPLS** [Saigo et al., KDD'2008]
 - LEAP** [Yan et al., SIGMOD'2008]
 - GraphSig** [Ranu & Singh, ICDE'2009]
- Subgrafos representativos:
 - ORIGAMI** [Hasan... & Zaki, ICDM'2007]



Subgrafos frecuentes



Modelos escalables

Subgrafos densos

- Cliques & cuasi-cliques (problema NP)
 - H*Graph** [Cheng et al., SIGMOD'2010+KDD'2012&13]
- K-cores: $O(m)$
 - EMcore** [Cheng et al., ICDE'2011]
- K-trusses = Triangle k-cores: $O(m^{1.5})$
 - [Wang & Cheng, PVLDB'2012]
 - [Zhang & Partharasany, ICDE'2012]



Subgrafos frecuentes



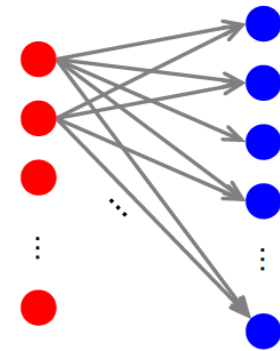
Modelos escalables: Trawling

Subgrafos bipartidos frecuentes

p.ej. Pequeñas comunidades en la Web

Problema formal:

Enumerar todos los grafos bipartidos completos $K_{s,t}$



Dense 2-layer graph

¿Cómo?

Encontrando itemsets frecuentes...

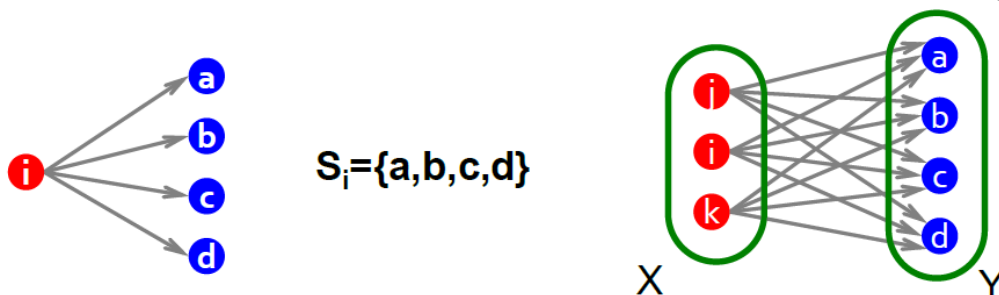


Subgrafos frecuentes



Modelos escalables: Trawling

Itemsets frecuentes = Grafos bipartidos completos $K_{s,t}$



- Cada nodo i puede verse como el conjunto de nodos a los que apunta S_i .
- $K_{s,t}$ es el conjunto de tamaño t que ocurre en s conjuntos S_i .

Buscar los grafos bipartidos completos $K_{s,t}$ es buscar t -itemsets frecuentes usando s como umbral :-)



Motif Discovery



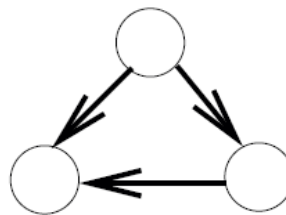
Modelos escalables: Subgrafos pequeños

“Motif” de tamaño k

Pequeño grafo conectado con k vértices/nodos que aparece en una red con más frecuencia de la esperada.

Ejemplo

Feed-forward loop

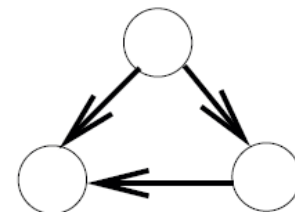
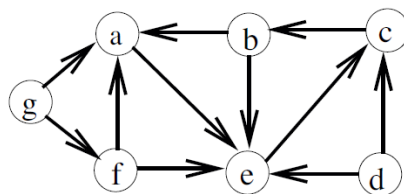


Motif Discovery

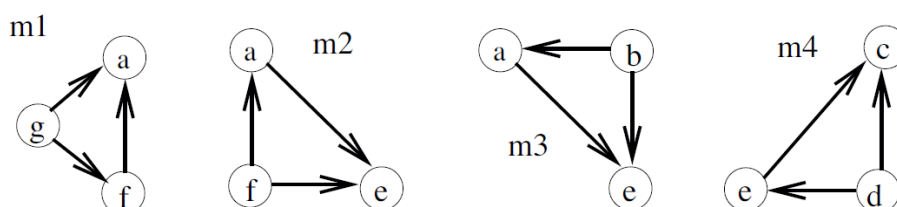


Ejemplo: Feed-forward loop

■ Grafo de entrada



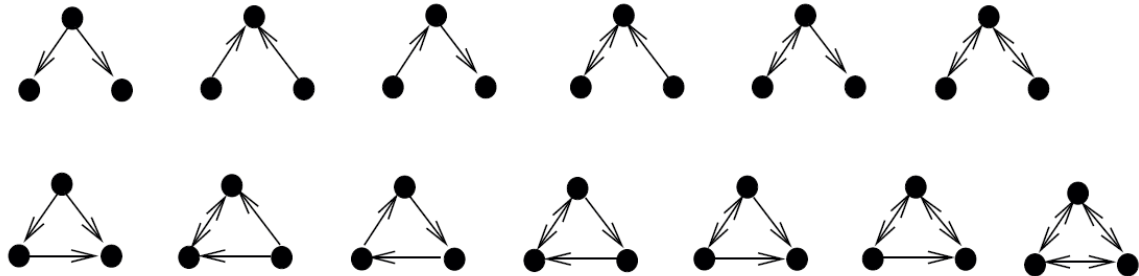
■ Ocurrencias del patrón



Motif Discovery



Los 13 "motifs" dirigidos de tamaño 3:



Número exponencial de posibles "motifs": $O(2^{n(n-1)})$

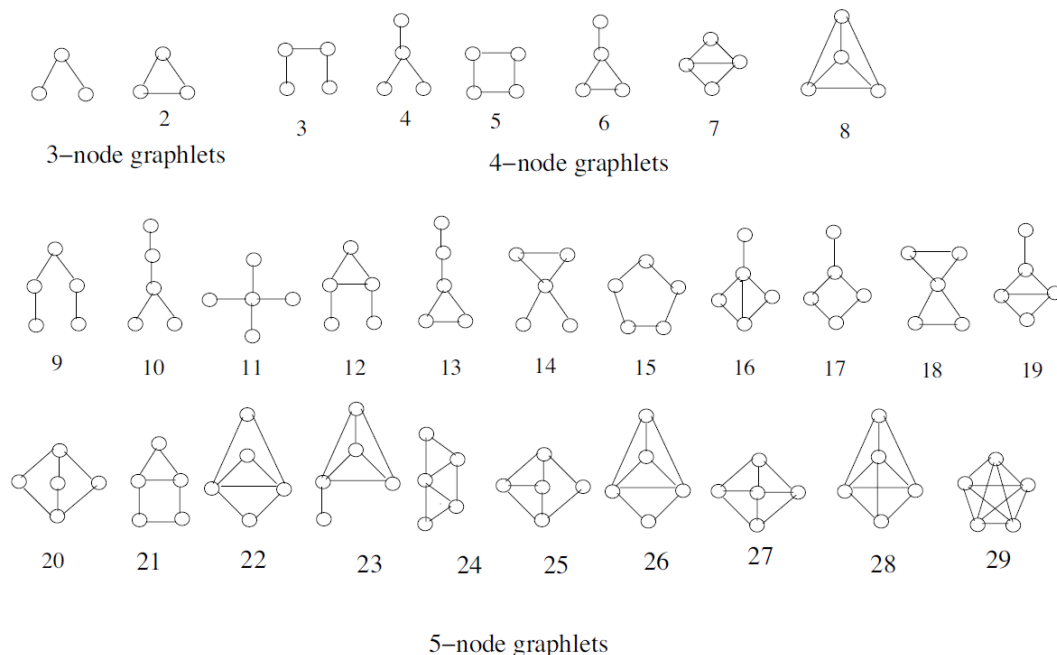
Motif size	3	4	5	6	7	8	9	10
Undirected subgraphs	2	6	21	112	853	$\approx 10^4$	$\approx 10^5$	$\approx 10^7$
Directed subgraphs	13	199	9364	10^6	$\approx 10^9$	$\approx 10^{12}$	$\approx 10^{16}$	$\approx 10^{20}$



Motif Discovery



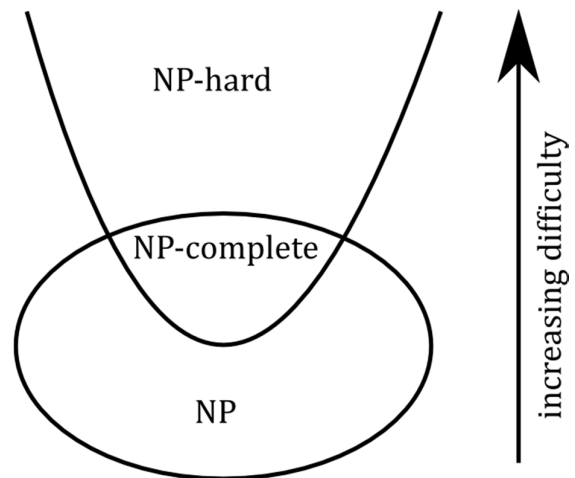
"Graphlets" de tamaños 3, 4 y 5



Motif Discovery



- Encontrar el número de apariciones de un "motif" es un problema NP-hard (encontrar una aparición concreta de un "motif" en un grafo también lo es), por lo que se hace necesario el uso de heurísticas.



- Encontrar y agrupar "motifs" isomórficos es un problema equivalente a encontrar los subgrafos isomórficos del patrón buscado (NP-completo).



Motif Discovery



Para evaluar la importancia de la aparición de un "motif" en un grafo, es necesario identificar sus ocurrencias en el grafo **y también en redes aleatorias**.

Una versión aleatoria R de un grafo G , similar en su estructura a G , se conoce como modelo nulo [null model].

Existe una familia $\Psi(G)$ de grafos aleatorios con propiedades similares a G (tamaño, secuencia de grados...), por lo que se genera una muestra S de n grafos de $\Psi(G)$ y se calcula la frecuencia de un "motif" tanto en el grafo G como en la muestra S .



Motif Discovery



Si la frecuencia de un patrón m es significativamente mayor en G que su frecuencia media en la muestra S de $\Psi(G)$, entonces se acepta como "motif":

- **Z-score:**
e.g. $Z(m) > 2.0$

$$Z(m) = \frac{F_1(m) - \overline{F_{1,r}(m)}}{\sigma_r(m)}$$

- **P-value:**
e.g. $P(m) < 0.05$

$$P(m) = \frac{1}{n} \sum_{i=1}^n \sigma_{R_i}(m)$$

- **Significance profile:**
(comparación de redes con respecto a los motifs que contienen)

$$SP(m_i) = \frac{Z(m_i)}{\sqrt{\sum_{i=1}^n Z(m_i)^2}}$$

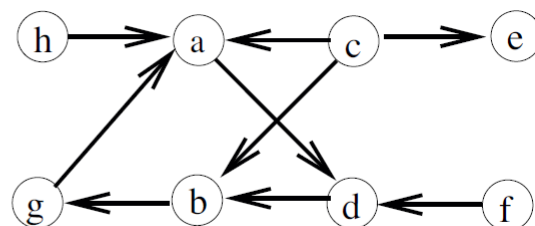
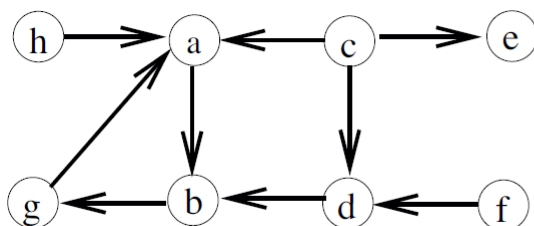


Motif Discovery



Generación de modelos nulos

Grafos del mismo tamaño pero distinta topología que preserven su secuencia de grados (y los grados de entrada y salida para cada nodo).



- Se escogen dos arcos al azar: (a,b) , (c,d)
- Se cruzan sustituyéndolos por (a,d) , (c,b)





Generación de modelos nulos

Método basado en cadenas de Markov

Input : $G(V, E)$

Output : Random graph $G'(V', E')$ similar to G
 $G' \leftarrow G$

while G' is not as randomized as required **do**

pick two random edges $(a, b), (c, d) \in E'$

if $(a, d) \notin E' \wedge (c, b) \notin E'$ **then**

$E' \leftarrow E' \setminus \{(a, b), (c, d)\}$

$E' \leftarrow E' \cup \{(a, d), (c, b)\}$

end if

end while



Fases en la identificación de motifs

- Descubrir los motifs $m_1..m_n$ que ocurren en G con más frecuencia de la esperada.
- Agrupar los motifs $m_1..m_n$ en clases isomórficas $C_1..C_k$ de forma que todos los motifs topológicamente equivalentes estén en la misma clase.
- Determinar cuáles de las clases identificadas ocurren en G con mucha más frecuencia que en grafos aleatorios topológicamente similares a G .





Algoritmos de identificación de motifs

- EXACT CENSUS ALGORITHMS
Los algoritmos exactos intentan encontrar todas las ocurrencias de un motif en una red.
- APPROXIMATE CENSUS ALGORITHMS
Los algoritmos aproximados, por cuestiones de eficiencia, muestrean subgrafos [subgraph sampling].



Mfinder

Enumeración completa

- Para cada arista del grafo, se construye un subgrafo G' alrededor de la arista.
- Se van añadiendo a este grafo vértices vecinos a cualesquiera de los vértices del grafo parcial G' hasta que el tamaño de G' coincida con el de los motifs buscados.



Motif Discovery



Mfinder

```

Input :  $G(V, E)$ 
           $\text{int } 2 \leq k \leq n$ 
Output : Subgraphs of size  $k$ 
for all  $(u, v) \in E$  do
     $\text{Extend}(\{u, v\})$ 
end for
procedure EXTEND ( $G'$ )
  if  $|G'| = k$  then
    if  $G'$  is unique then
      increment frequency of isomorphic class of  $G'$ 
    else
      insert  $G'$  in Hash
      for all  $u \in G'$  do
        for all  $(u, w) \in E$  do
          if  $w \notin G'$  then
            if  $G' \cup \{w\}$  is not in Hash then
               $\text{Extend}(G' \cup \{w\})$ 
            end if
          end if
        end for
      end for
    end if
  end procedure
  
```

▷ weighted or unweighted
 ▷ do it for all edges
 ▷ if required size is reached
 ▷ check neighbors

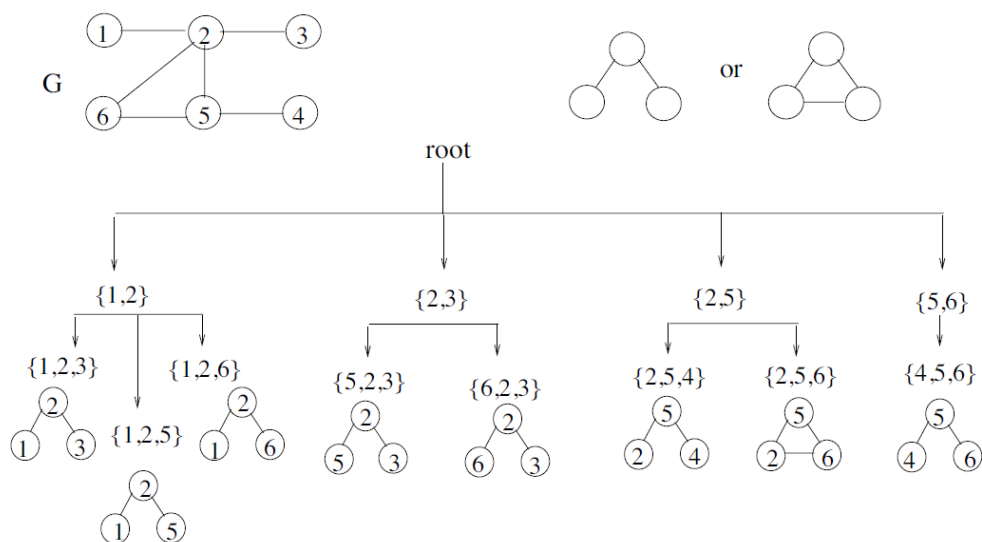


Motif Discovery



Mfinder

Enumeración completa





ESU [Enumerate SUBgraphs]

- Genera sistemáticamente todos los subgrafos de tamaño k : empezando con un vértice v , añade nuevos vértices ordenadamente para asegurar que cada subgrafo sólo se enumera una vez.
- Algoritmo incorporado en la herramienta FANMOD.
- Utiliza Nauty para calcular isomorfismos.



ESU [Enumerate SUBgraphs]

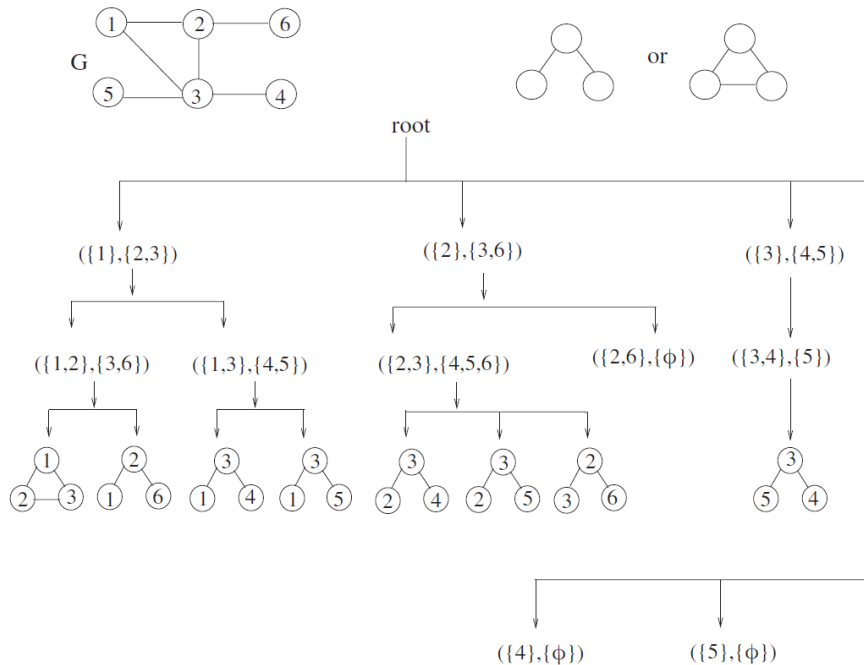
```
Input :  $G(V, E)$ , int  $1 \leq k \leq n$ 
Output : All  $k$ -size subgraphs of  $G$ 
for all  $v \in V$  do
   $V_{ext} \leftarrow \{u \in N(v) : u > v\}$ 
  ExtSubgraph( $\{v\}, V_{ext}, v$ )
end for
return
procedure EXTSUBGRAPH( $V_s, V_{ext}, v$ )
  if  $|V_s| = k$  then output  $G[V_s]$ 
  return
  end if
  while  $V_{ext} \neq \emptyset$  do
     $V_{ext} \leftarrow V_{ext} \setminus \{\text{an arbitrary vertex } w \in V_{ext}\}$ 
     $V'_{ext} \leftarrow V_{ext} \cup \{u \in N_{excl}(w, V_s) : u > v\}$ 
    ExtSubgraph( $(V_s \cup \{w\}, V'_{ext}, v)$ )
  end while
  return
end procedure
```



Motif Discovery



ESU [Enumerate SUBgraphs]



Motif Discovery



Kavosh

Para que cada subgrafo sólo se enumere una vez:

- Se encuentran todos los subgrafos de tamaño k que incluyen un vértice v (explorando un árbol de profundidad k con él vértice v como raíz).
- Se elimina el vértice v del grafo.

NOTA:

También utiliza Nauty para comprobar isomorfismos.



Motif Discovery



Kavosh

```

procedure ENUMVERTEX( $G, v, S, rem$ )
  if  $rem = 0$  then
    return
  else
     $List \leftarrow Validate(G, S_{i-1}, v)$ 
     $n_i \leftarrow \min(|List|, rem)$ 
    for  $k_i = 1$  to  $n_i$  do
       $C \leftarrow InitialComb(List, k_i)$ 
      repeat
         $S_i \leftarrow C$ 
         $EnumVertex(G, v, S, rem - k_i, i + 1)$ 
         $NextComb(List, k_i)$ 
      until  $C = \emptyset$ 
    end for
    for all  $u \in List$  do
       $visited[u] \leftarrow false$ 
    end for
  end if
end procedure
  
```

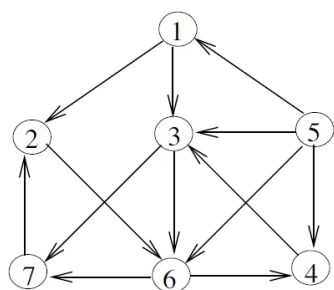
Input : $G(V, E)$ undirected or directed
Output : L : List of all k -size subgraphs of G
for all $v \in V$ **do**
 $visited[v] \leftarrow true; S_0 \leftarrow v$
 $EnumVertex(G, v, S, k - 1, 1)$
 $visited[v] \leftarrow true$
end for



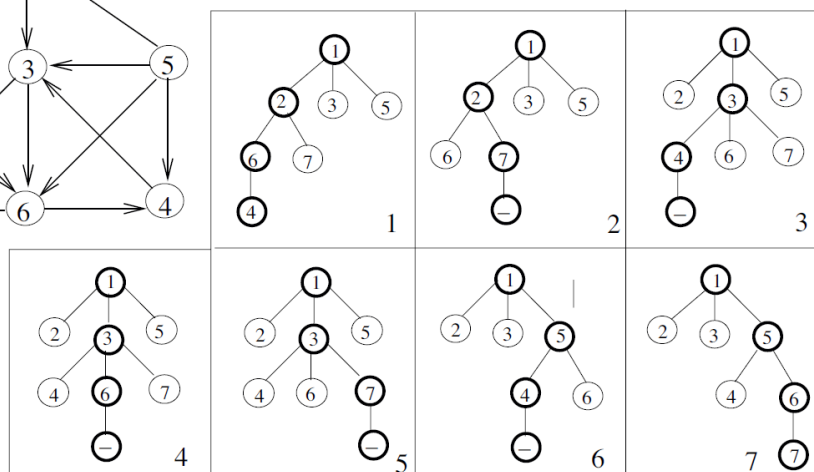
Motif Discovery



Kavosh



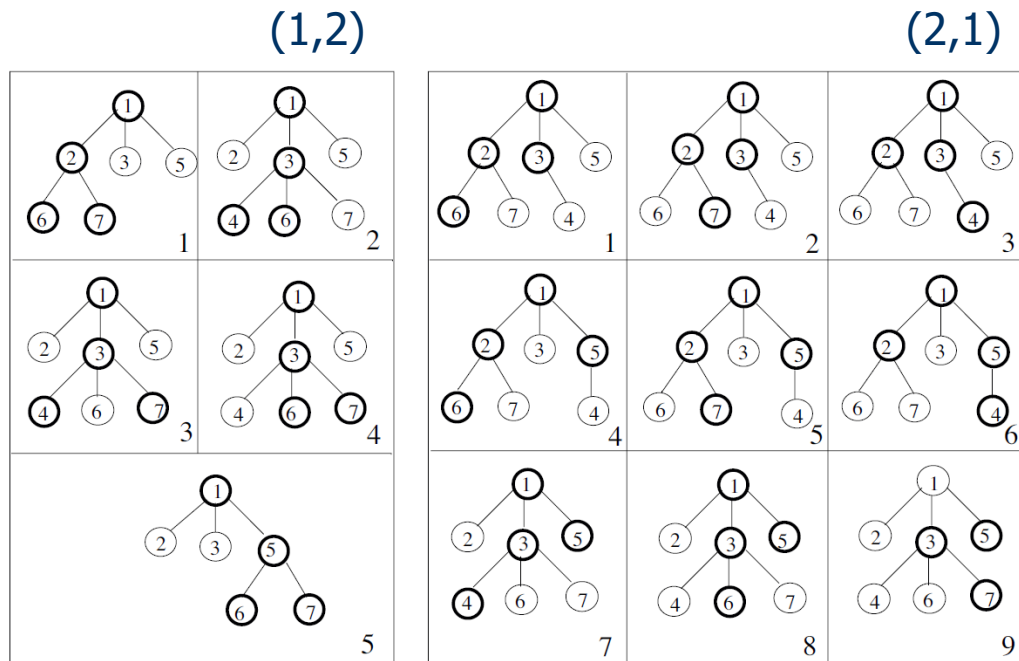
Motifs de tamaño 4 partiendo del nodo 1
 (1,1,1)



Motif Discovery



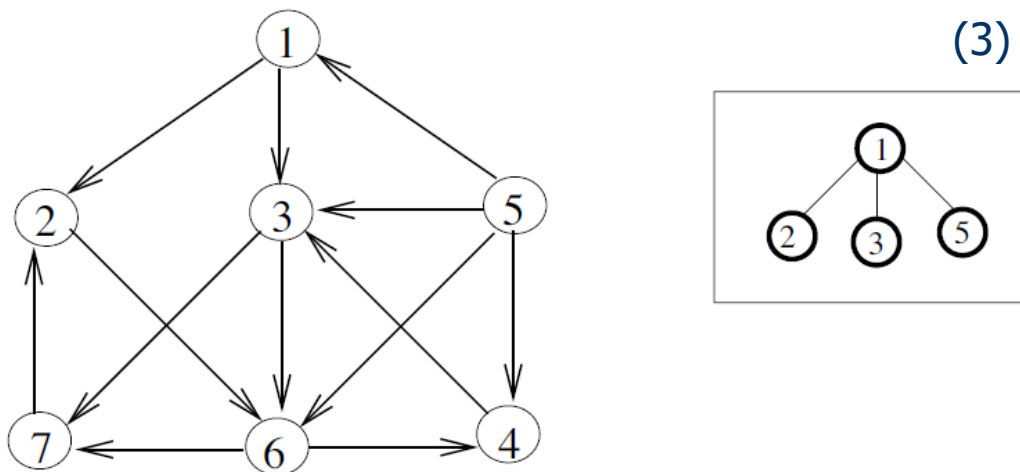
Kavosh



Motif Discovery



Kavosh



Motif Discovery



MODA

Pattern growth

Árboles de expansión

- Un nodo a nivel k corresponde a un grafo de tamaño k con $k-1$ aristas (la raíz está a nivel 0).
- El número de nodos del primer nivel corresponde al número de árboles no isomórficos de tamaño k .
- Cada nodo es un subgrafo de sus hijos.
- La única hoja a nivel $(k^2-3k+4)/2$ corresponde al grafo completo K_k .
- El camino más largo de la raíz a la hoja tiene longitud $(k^2 - 3k+4)/2$.



Motif Discovery



MODA

Input : $G(V, E)$, $\text{int } 1 \leq k \leq n$, Δ : threshold value

Output : L : List of frequent k -size subgraphs of G

repeat

$G'(V', E') \leftarrow \text{Get_Next_BFS}(T_k)$

if $|E'| = k - 1$ **then**

$\text{MappingModule}(G', G)$

else

$\text{EnumeratingModule}(G', G, T_k)$

end if

 save F_2

if $|F_G| > \Delta$ **then**

$L \leftarrow L \cup G'$

end if

until $|E'| = (k - 1)/2$

procedure $\text{ENUMERATINGMODULE}(G', G, T_k)$

$F_G \leftarrow \emptyset$

$H \leftarrow \text{Get_Parent}(G', T_k)$

get F_H from memory

$(u, v) \leftarrow E(G') - E(H)$

for all $f \in F_H$ **do**

if $f(u), f(v) \in G$ **and** $\langle f(u), f(v) \rangle$ violates
 the corresponding conditions **then**

add f to F'_G

end if

end for

return F_G

end procedure

procedure $\text{MAPPINGMODULE}(G, G')$

$\text{Grochow_Kellis}(G', G)$

end procedure

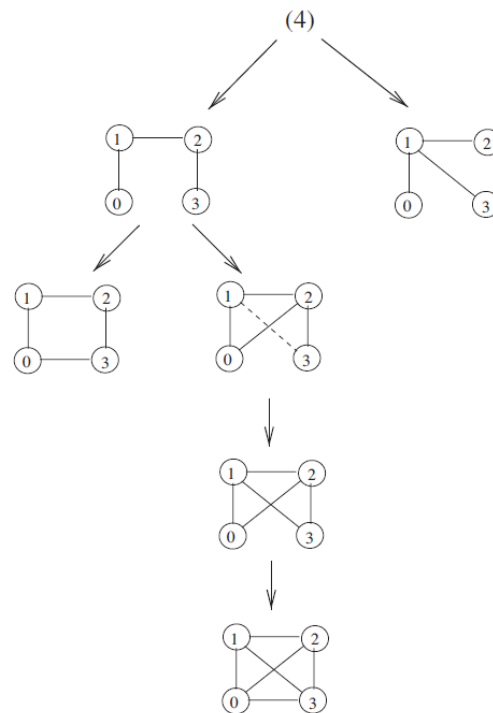


Motif Discovery



MODA

Pattern growth



Motif Discovery



Algoritmos aproximados

PROBLEMA:

El número de subgrafos crece exponencialmente tanto con el tamaño de la red como con el tamaño del patrón investigado.

SOLUCIÓN:

Utilización de algoritmos probabilísticos aproximados.

- Se muestrean subgrafos del tamaño requerido a partir del grafo original.
- La precisión (y el coste computacional) aumenta cuantas más muestras utilizemos.





Mfinder con muestreo

Selección aleatoria de aristas

```
procedure EDGESAMPLE( $G, k$ )
  Input :  $G(V, E)$ ,
  int  $2 \leq k \leq n$ 
  Output : A subgraph of size  $k$ 
   $E_s \leftarrow \emptyset; V_s \leftarrow \emptyset$ 
  pick a random edge  $(u, v) \in E$ 
   $E_s \leftarrow (u, v); V_s \leftarrow \{u, v\}$ 
  while  $|V_s| \neq k$  do
     $L \leftarrow$  neighbor edges of  $\{u, v\}$ 
     $L \leftarrow L \setminus \{ \text{all edges between the vertices in } V_s \}$ 
    if  $L = \emptyset$  then exit
    end if
    pick a random edge  $(w, z) \in L$ 
     $V_s \leftarrow V_s \cup \{w, z\}$ 
     $E_s \leftarrow E_s \cup (w, z)$ 
  end while
  return  $V_s$ 
end procedure
```



ESU probabilístico

Exploración probabilística del árbol ESU

```
Input :  $G(V, E)$ , int  $1 \leq k \leq n$ 
Output : All  $k$ -size subgraphs of  $G$ 
for all  $v \in V$  do
   $V_{ext} \leftarrow \{u \in N(v) : u > v\}$ 
  With probability  $P_d$ 
     $Ext\_Subgraph(\{v\}, V_{ext}, v)$ 
end for

procedure  $Ext\_Subgraph(V_s, V_{ext}, v)$ 
  if  $|V_s| = k$  then output  $G[V_s]$ 
  return
end if
while  $V_{ext} \neq \emptyset$  do
   $V_{ext} \leftarrow V_{ext} \setminus \{ \text{an arbitrary vertex } w \in V_{ext} \}$ 
   $V_{ext} \leftarrow V_{ext} \cup \{u \in N_{excl}(w, V_s) : u > v\}$ 
   $V'_s \leftarrow V_s \cup \{w\}$ 
  With probability  $P_{|V'_s|}$ 
     $Ext\_Subgraph((V_s \cup \{w\}, V'_{ext}, v))$ 
end while
return
end procedure
```



Motif Discovery



MODA con muestreo

Estimación de la frecuencia de un subgrafo

Input : network graph $G(V, E)$, query graph $G'(V', E')$
Output : approximate frequency and mapping of G'
procedure MAPSAMPLE(G')
 for $i = 1$ to $n_{samples}$ **do**
 select $u \in V$ with probability $deg(v)$
 for all $v \in V'$ **do**
 if $deg(u) \geq deg(v)$ **then**
 Grochow(G') with $f(v) = u$
 end if
 $V \leftarrow V \setminus \{u\}$
 end for
end for
end procedure



Motif discovery



¿De qué tamaño podemos encontrar motifs?

Sistema utilizado	Tamaño máximo de los motifs descubiertos
Mfinder	5
Mfinder con muestreo	6
FPF	9
NeMoFinder	12



Graph500



Supercomputación sobre grafos

<http://www.graph500.org/>

Noviembre 2015

Sistema	País	Nodos	Cores	GTEPS
Fujitsu K	Japón	82944	663552	38621
IBM BlueGene/Q	USA	98304	1572864	23751
Tianhe-2	China	8192	196608	2061
SGI UV 2000	USA	1	1280	174
i5 + NVIDIA GPU	USA	1	28	132
i7	USA	1	4	1.28
Apple MacBook Air	USA	1	2	1.22
Apple iPad	USA	1	2	0.03

Benchmark basado en algoritmos sobre grafos: 3 kernels

- Búsqueda (concurrente),
- Optimización (camino mínimo)
- Procesamiento de aristas [maximal independent set]



Aplicaciones



- Compresión de datos
- Indexación
- Recuperación de información
- Redes de interacción de proteínas (PPI)

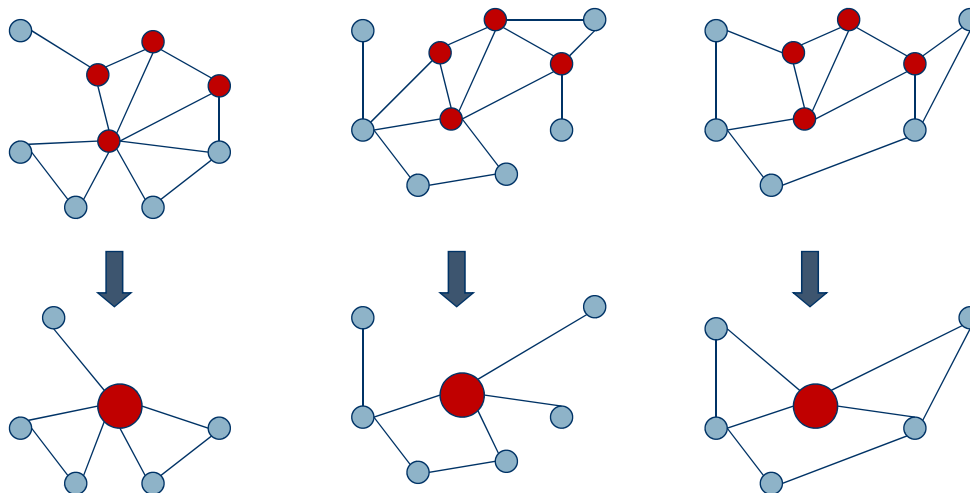


Aplicaciones: Compresión



Compresión de datos

Extraer subgrafos comunes
y condensar éstos en un solo nodo

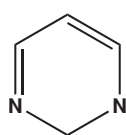


Aplicaciones: Indexación

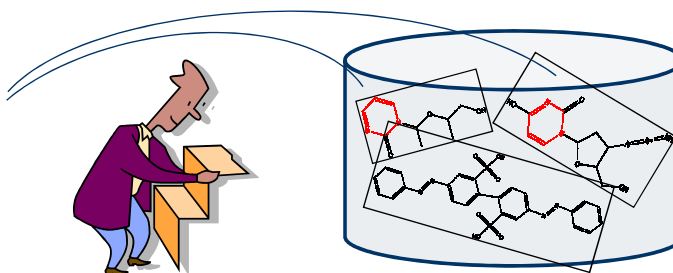


Indexación

En consultas sobre bases de datos de grafos, recorrer secuencialmente toda la base de datos sería demasiado ineficiente tanto por las operaciones de E/S como por las comprobaciones de isomorfismo entre grafos



consulta



Base de datos

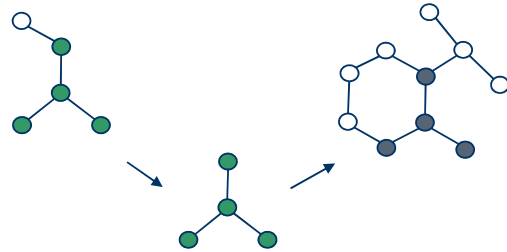
p.ej. GraphGrep, Grace, gIndex



Aplicaciones: Indexación



Si un grafo G contiene el grafo Q , G debe contener cualquier subestructura de Q :



Indexar las subestructuras del grafo Q para podar los grafos que no contienen esas subestructuras:

- Construcción del índice: Enumerar estructuras para construir un índice invertido (estructuras \rightarrow grafos).
- Consulta: Obtener candidatos (grafos que contienen las subestructuras encontradas en el grafo de consulta) y podar los falsos positivos (mediante un test de isomorfismo entre grafos).



Aplicaciones: Indexación



¿Qué estructuras se incluyen en el índice?

- Caminos.
- Estructuras de interés
- Estructuras frecuentes.
- Estructuras discriminantes.

IDEA:

Cuanto más se reduzca el número de falsos positivos, menor será el tiempo de respuesta

$$T_{index} + \boxed{C_q} \times (T_{io} + T_{isomorphism_testing})$$

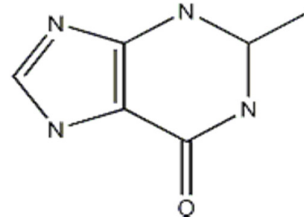


Aplicaciones: SRI

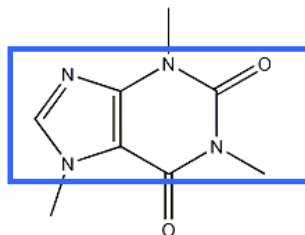


Recuperación de información

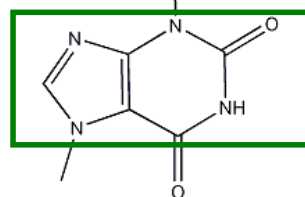
Grafo de la consulta



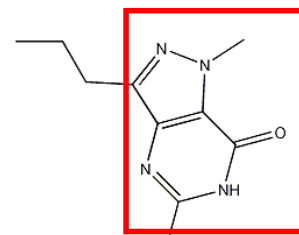
Resultado de la consulta



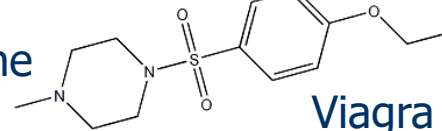
cafeína



diurobromine



Viagra



106

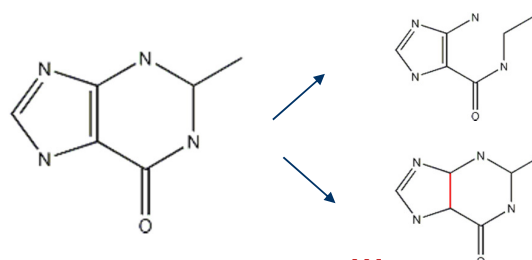
Aplicaciones: SRI



Alternativas de diseño:

Soluciones exactas (problema NP-completo)

1. Calcular la similitud entre los grafos de la base de datos y el grafo de consulta (recorrido secuencial)
2. Crear subgrafos del grafo de consulta y hacer una búsqueda exacta (tendremos que probar multitud de subgrafos si queremos encontrar todos los grafos que sean "aproximadamente" iguales al grafo de consulta).



107

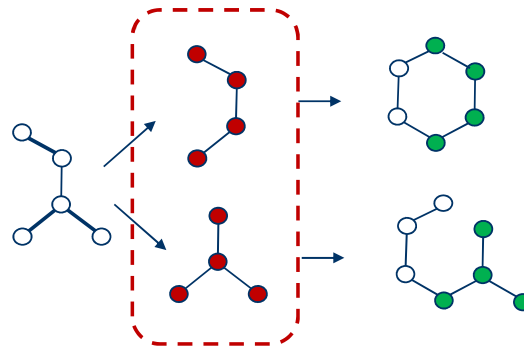
Aplicaciones: SRI



Alternativas de diseño:

Soluciones aproximadas (heurísticas P)

3. Similitud "subestructural"
Selección de características e indexación
p.ej. **Grafil**



IDEA: Si un grafo G contiene al grafo de consulta Q , G debería compartir características con Q .



Aplicaciones: PPI



Interacciones de la proteína de la levadura



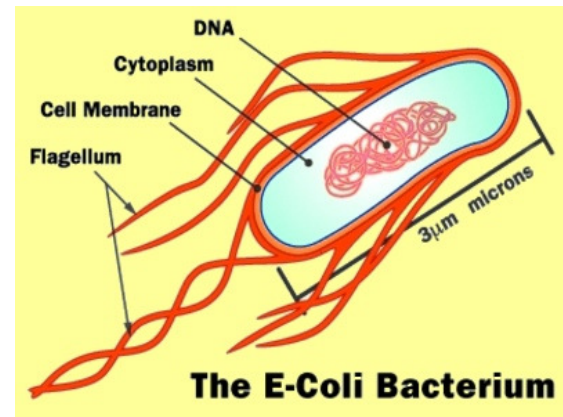
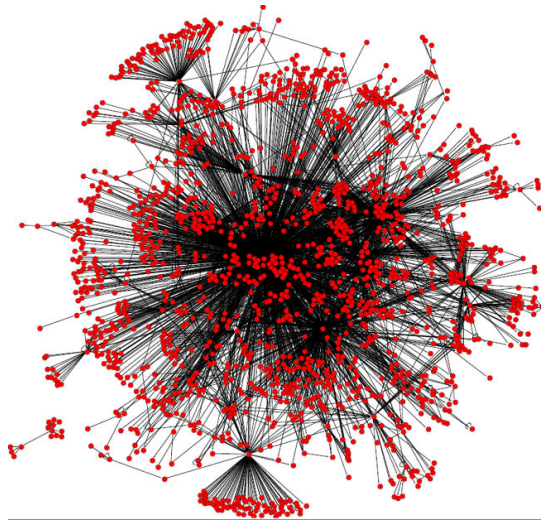
from H. Jeong et al Nature 411, 41 (2001)



Aplicaciones: PPI



E-coli transcriptional regulatory network

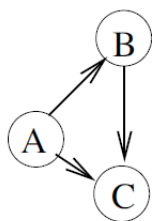


Aplicaciones: PPI

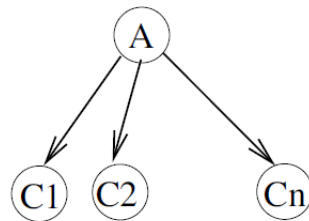


E-coli transcriptional regulatory network

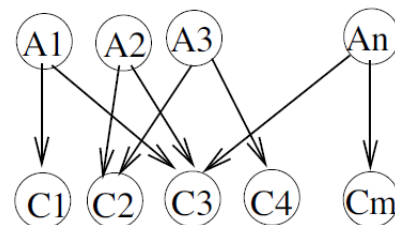
Motifs frecuentes



Feedforward
Loop



Single input
module (SIM)



Dense overlapping
regions (DOR)



Aplicaciones

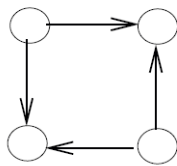


Motifs frecuentes en distintos tipos de redes

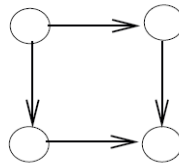
Redes regulatorias de genes

Redes neuronales

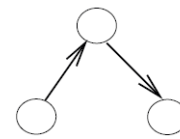
Redes tróficas [food webs]



Bifan



Biparallel



Three-chain



Bibliografía



- Charu C. Aggarwal & Jiawei Han (editors):
Frequent Pattern Mining.
Springer, 2014.
ISBN 3319078208.

Chapter 13
Mining Graph Patterns
Hong Chen, Xifeng Yang & Jiawei Han

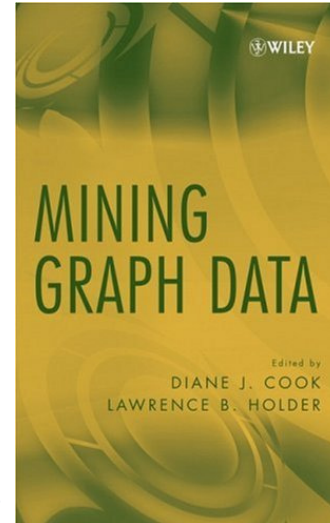


Bibliografía



- Diane J. Cooke & Lawrence B. Holder (editors):
Mining Graph Data.
Wiley, 2007.
ISBN 0-471-73190-0

Chapter 5
Discovery of frequent substructures
Xifeng Yang & Jiawei Han



Bibliografía



- Kayhan Erciyes:
**Complex Networks:
An Algorithmic Perspective.**
CRC Press, 2014.
ISBN 1466571667.

Chapter 9
Network Motif Discovery

Chapter 10
Protein Interaction Networks
10.4 Network Motifs in PPI Networks



Bibliografía: Graph Isomorphism

- J.R. Ullman: **An Algorithm for Subgraph Isomorphism**. Journal of the ACM, 23(1):31-42, 1976.
- B.D. McKay, **Practical Graph Isomorphism**. In Manitoba Conference on Numerical Mathematics and Computing Winnipeg 1980, Congressus Numerantium, 30:45-87, 1981.
- B.D. McKay & A. Piperno: **Practical Graph Isomorphism, II**, J. Symbolic Computation, 60:94-112, 2014. DOI 10.1016/j.jsc.2013.09.003. <http://pallini.di.uniroma1.it/>
- L. Babai and E. M. Luks. **Canonical Labeling of Graphs**. In Proceedings of the Fifteenth Annual ACM Symposium on Theory of Computing, STOC'83, pages 171-183, 1983.
- Eugene M. Luks. **Isomorphism of graphs of bounded valence can be tested in polynomial time**. J. Comput. Syst. Sci., 25(1):42-65, 1982.
- S. Fortin. **The Graph Isomorphism Problem**. Technical Report TR 96-20, July 1996, Dept. of Computer Science, The University of Alberta.
- B.T. Messmer, H. Bunke. **Subgraph isomorphism detection in polynomial time on preprocessed model graphs**. In *Recent Developments in Computer Vision*, pages 373-382, Springer, Berlin, 1996.
- L.P. Cordella, P. Foggia, C. Sansone, M. Vento: **A (sub) graph isomorphism algorithm for matching large graphs**. IEEE Transactions on Pattern Analysis and Machine Intelligence, 26(10):1367-1372, 2004.
- R. Battiti and F. Mascia. **An algorithm portfolio for the subgraph isomorphism problem**. In *Engineering Stochastic Local Search Algorithms. Designing, Implementing and Analyzing Effective Heuristics*, pages 106-120. Springer, Berlin, 2007.



Bibliografía: Graph Patterns

- C. Borgelt & M. R. Berthold, **Mining molecular fragments: Finding relevant substructures of molecules**, ICDM'2002
- Diane J. Cook & Lawrence B. Holder: **Graph-Based Data Mining**. IEEE Intelligent Systems 15(2):32-41, 2000
- L. Dehaspe, H. Toivonen & R. King. **Finding frequent substructures in chemical compounds**, KDD'1998
- L. Dehaspe & H. Toivonen, **Discovery of frequent Datalog patterns**, DMKD'1999
- E. Gudes, S. E. Shimony & N. Vanetik: **Discovering Frequent Graph Patterns Using Disjoint Paths**. IEEE TKDE 18(11):1441-1456, 2006
- L. Holder, D. Cook & S. Djoko. **Substructure discovery in the SUBDUE system**, KDD'1994
- J. Huan, W. Wang & J. Prins. **Efficient mining of frequent subgraph in the presence of isomorphism**, ICDM'2003
- J. Huan, W. Wang & J. Prins, **SPIN: Mining Maximal Frequent Subgraphs from Graph Databases**. KDD'2004
- A. Inokuchi, T. Washio & H. Motoda. **An Apriori-based algorithm for mining frequent substructures from graph data**, PKDD'2000
- A. Inokuchi, T. Washio & H. Motoda. **Complete Mining of Frequent Patterns from Graphs: Mining Graph Data**. Machine Learning, 2003.



Bibliografía: Graph Patterns



- M. Kuramochi and G. Karypis. **Frequent subgraph discovery**, ICDM'2001
- M. Kuramochi and G. Karypis, **GREW: A Scalable Frequent Subgraph Discovery Algorithm**, ICDM'2004
- M. Kuramochi and G. Karypis, **An Efficient Algorithm for Discovering Frequent Subgraphs**. IEEE TKDE 16(9):1038-1051, 2004
- M. Kuramochi and G. Karypis, **Finding Frequent Patterns in a Large Sparse Graph**, Data Mining and Knowledge Discovery, 11(3):243-271, 2005
- S. Nijssen and J. Kok. **A quickstart in frequent structure mining can make a difference**. KDD'2004
- N. Vanetik, E. Gudes, and S. E. Shimony. **Computing frequent graph patterns from semistructured data**, ICDM'2002
- N. Vanetik, E. Gudes. **Mining Frequent Labeled and Partially Labeled Graph Patterns**. ICDE'2004
- C. Wang, W. Wang, J. Pei, Y. Zhu, and B. Shi. **Scalable mining of large disk-base graph databases**. KDD'2004.
- T. Washio & H. Motoda: **State of the art of graph-based data mining**. SIGKDD Explorations, 5:59–68, 2003.
- X. Yan and J. Han, **gSpan: Graph-Based Substructure Pattern Mining**, ICDM'2002
- X. Yan and J. Han, **CloseGraph: Mining Closed Frequent Graph Patterns**, KDD'2003
- X. Yan, X. J. Zhou, and J. Han, **Mining Closed Relational Graphs with Connectivity Constraints**, KDD'2005



Bibliografía: Graph Patterns



- M. Al Hasan, V. Chaoji, S. Salem, J. Besson, and M. J. Zaki. **ORIGAMI: Mining representative orthogonal graph patterns**. ICDM'2007
- T. Asai, K. Abe, S. Kawasoe, H. Arimura, H. Satamoto, and S. Arikawa. **Efficient substructure discovery from large semi-structured data**. SDM'2002.
- B. Bringmann and S. Nijssen. **What is frequent in a single graph?** PAKDD'2008.
- M. Fiedler and C. Borgelt. **Support computation for mining frequent subgraphs in a single graph**. MLG'2007.
- H. Cheng, X. Yan, J. Han, and C.-W. Hsu. **Discriminative frequent pattern analysis for effective classification**. ICDE'2007.
- J. Cheng, Y. Ke, A. Fu, J. X. Yu, and L. Zhu. **Finding maximal cliques in massive networks by H*-graph**. SIGMOD'2010.
- J. Cheng, Y. Ke, S. Chu, and M. T. Oszu. **Efficient core decomposition in massive networks**. ICDE'2011.
- J. Cheng, L. Zhu, Y. Ke, and S. Chu. **Fast algorithms for Maximal Clique Enumeration with Limited Memory**. KDD'2012.
- D. Gibson, R. Kumar, and A. Tomkins. **Discovering large dense subgraphs in massive graphs**. VLDB'2005.
- Ravi Kumar, Prabhakar Raghavan, Sridhar Rajagopalan, Andrew Tomkins: **Trawling the Web for emerging cyber-communities**. WWW'1999 & Computer Networks '1999



Bibliografía: Graph Patterns



- H. He and A. K. Singh. **Efficient algorithms for mining significant substructures in graphs with quality guarantees.** ICDM'2007.
- R. Jin, C.Wang, D. Polshakov, S. Parthasarathy, and G. Agrawal. **Discovering frequent topological structures from graph datasets.** KDD'2005.
- T. Kudo, E. Maeda, and Y. Matsumoto. **An application of boosting to graph classification.** In Advances in Neural Information Processing Systems 18 (NIPS'04), 2004.
- S. Ranu and A. K. Singh. **GraphSig: A scalable approach to mining significant subgraphs in large graph databases.** ICDE'2009.
- H. Saigo, N. Krämer, and K. Tsuda. **Partial least squares regression for graph mining.** KDD'2008.
- L. Thomas, S. Valluri, and K. Karlapalem. **MARGIN: Maximal frequent subgraph mining.** ICDM'2006
- C. E. Tsourakakis, F. Bonchi, A. Gionis, F. Gullo, and M. A. Tsiarli. **Denser than the densest subgraph: Extracting optimal quasi-cliques with quality guarantees.** KDD'2013.
- K. Tsuda. **Entire regularization paths for graph data.** ICDML'2007.
- J.Wang and J. Cheng. **Truss decomposition in massive networks.** PVLDB, 5(9):812–823, 2012.
- N. Wang, J. Zhang, K. L. Tan, A. K. H. Tung. **On Triangulation-based Dense Neighborhood Graphs Discovery.** PVLDB, 4(2):58–68, 2010.
- J. Wang, J. Cheng, and A. Fu. **Redundancy-aware maximal cliques.** KDD'2013.



Bibliografía: Graph Patterns



- J. Xiang, C. Guo, and A.Aboulmaga. **Scalable maximum clique computation using MapReduce.** ICDE'2013.
- X. Yan, H. Cheng, J. Han, and P. S. Yu. **Mining significant graph patterns by scalable leap search.** SIDMOD'2008.
- Y. Zhang and S. Parthasarathy. **Extracting analyzing and visualizing triangle k-core motifs within networks.** ICDE'2012.
- M. Deshpande, M. Kuramochi, N. Wale, and G. Karypis. **Frequent substructure-based approaches for classifying chemical compounds.** IEEE TKDE 17:1036–1050, 2005.
- Rosalba Giugno and Dennis Shasha. **GraphGrep: A Fast and Universal Method for Substructure Searches.** ICPR'2002.
- J. Huan, W. Wang, D. Bandyopadhyay, J. Snoeyink, J. Prins, and A. Tropsha. **Mining spatial motifs from protein structure graphs.** RECOMB'2004
- M. Koyuturk, A. Grama, and W. Szpankowski. **An efficient algorithm for detecting frequent subgraphs in biological networks.** Bioinformatics, 20:I200–I207, 2004.
- X. Yan, P. S. Yu, and J. Han. **Graph indexing: A frequent structure-based approach.** SIGMOD'2004.
- X. Yan, P. S. Yu, and J. Han, **Substructure Similarity Search in Graph Databases,** SIGMOD'2005
- Xifeng Yan, Feida Zhu, Philip S. Yu & Jiawei Han: **Feature-based Similarity Search in Graph Structures.** ACM Transactions on Database Systems, December 2006.
- Hanghang Tong, Brian Gallagher, Christos Faloutsos & Tina Eliassi-Rad: **Fast Best-Effort Pattern Matching in Large Attributed Graphs.** KDD'2007



Bibliografía: Motif Discovery



Mfinder

<http://www.weizmann.ac.il/mcb/UriAlon/index.html>

- N. Kashtan, S. Itzkovitz, R. Milo & U. Alon. **Mfinder tool guide**. Technical Report, Department of Molecular Cell Biology and Computer Science and Applied Mathematics, Weizmann Institute of Science, 2002.
- R. Milo, S. Shen-Orr, S. Itzkovitz, N. Kashtan, D. Chklovskii & U. Alon. **Network motifs: simple building blocks of complex networks**. *Science*, 298(5594):824-827, 2002.
- N. Kashtan, S. Itzkovitz, R. Milo, and U. Alon. **Efficient sampling algorithm for estimating subgraph concentrations and detecting network motifs**. *Bioinformatics*, 20:1746-1758, 2004.

FANMOD (ESU algorithm)

<http://theinf1.informatik.uni-jena.de/motifs/>

- S. Wernicke: **Efficient Detection of Network Motifs**. IEEE/ACM Trans. Comput. Biology Bioinform. 3(4):347-359, 2006
- S. Wernicke: **A Faster Algorithm for Detecting Network Motifs**. In Proceedings of the 5th WABI-05, Volume 3692, pages 165-177, Springer, 2005.
- S. Wernicke & F. Rasche: **FANMOD: A tool for fast network motif detection**. *Bioinformatics*, 22(9):1152-1153, 2006.



Bibliografía: Motif Discovery



Otros algoritmos

- S. Omid, F. Schreiber, A. Masoudi-Nejad. **MODA: an efficient algorithm for network motif discovery in biological networks**. *Genes and Genetic Systems*, 84:385-395, 2009.
- J. Grochow & M. Kellis: **Network motif discovery using subgraph enumeration and symmetry-breaking**. Proceedings of the 11th annual international Conference on Research in Computational Molecular Biology, RECOMB'07, pages 92-106, 2007.
- Z.R. Kashani, H. Ahrabian, E. Elahi, A. Nowzari-Dalini, E.S. Ansari, S. Asadi, S. Mohammadi, F. Schreiber & A. Masoudi-Nejad. **Kavosh: a new algorithm for finding network motifs**. *BMC Bioinformatics*, 10(318), 2009.

FPF

- V. Spirin & L.A. Mirny: **Protein complexes and functional modules in molecular networks**. *PNAS*, 100(21):12123-12128, 2003

NeMoFinder

- J. Chen, W. Hsu, M.L. Lee & S-K Ng: **NeMoFinder: dissecting genome-wide protein-protein interactions with meso-scale network motifs**. In Proceedings of the 12th ACM SIGKDD International Conference on Knowledge Discovery and Data Mining, pp. 106-115, 2006.

